

De la beauté des mathématiques aux collisions des particules élémentaires

Georgios Papathanasiou



CLUSTER OF EXCELLENCE
QUANTUM UNIVERSE

Séminaire Math-Physique, Institut de Mathématiques de Bourgogne
16 mars 2022

PRL 126, 091603 (2021) avec D. Chicherin, J. M. Henn
PRL 124, 161603 (2020) avec B. Basso et L. J. Dixon
JHEP 08 (2020) 005 & JHEP 10 (2021) 007 avec N. Henke
JHEP 03 (2015) 072 avec J. M. Drummond et M. Spradlin

Introduction: Sonder le microcosme des particules élémentaires

La physique des particules vise à découvrir les constituants fondamentaux de la matière et leurs interactions

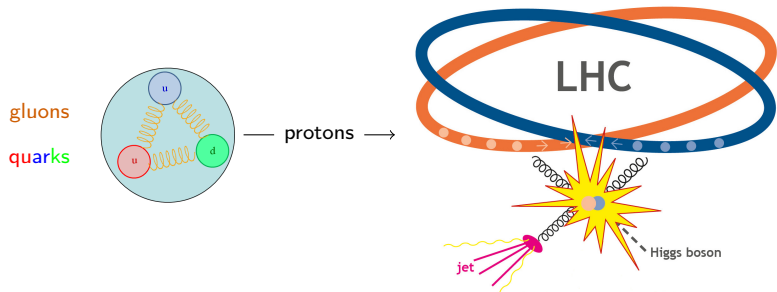
Introduction: Sonder le microcosme des particules élémentaires

La physique des particules vise à découvrir les constituants fondamentaux de la matière et leurs interactions, au moyen d'expériences avec des collisionneurs.



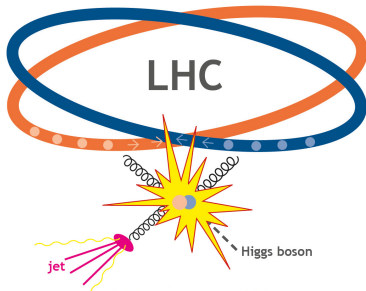
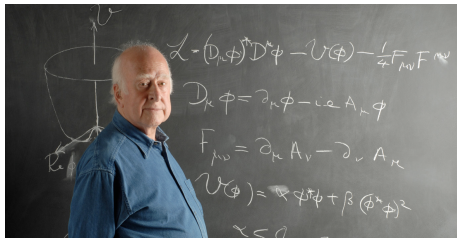
Introduction: Sonder le microcosme des particules élémentaires

La physique des particules vise à découvrir les constituants fondamentaux de la matière et leurs interactions, au moyen d'expériences avec des collisionneurs.



Introduction: Sonder le microcosme des particules élémentaires

La physique des particules vise à découvrir les constituants fondamentaux de la matière et leurs interactions, au moyen d'expériences avec des collisionneurs.

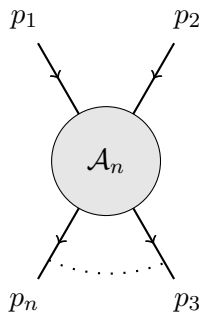


- ▶ Percée majeure : La découverte du boson de Higgs, donnant de la masse à d'autres particules élémentaires (2012).

Quand la théorie confronte l'expérience

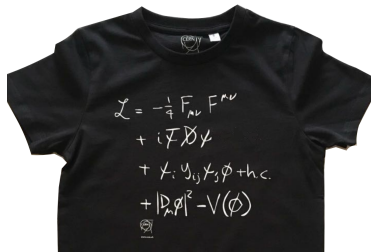
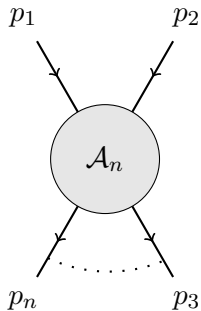
Amplitudes de diffusion \mathcal{A}_n

:



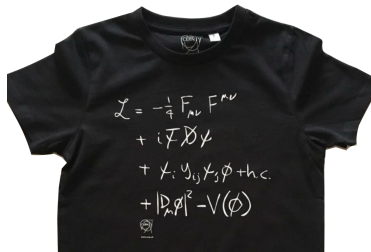
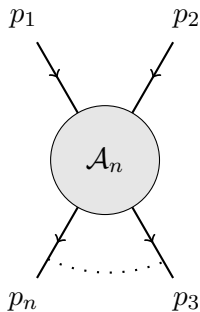
Quand la théorie confronte l'expérience

Amplitudes de diffusion \mathcal{A}_n en théorie quantique des champs (TQC):



Quand la théorie confronte l'expérience

Amplitudes de diffusion \mathcal{A}_n en théorie quantique des champs (TQC):

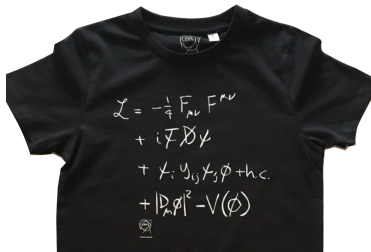
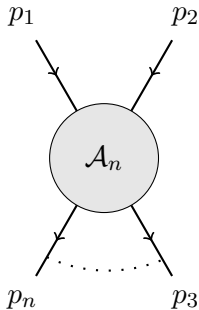


- Liens entre prédiction théorique et mesure expérimentale

$$|\mathcal{A}_n|^2 = \text{Probabilité de résultat de collision}$$

Quand la théorie confronte l'expérience

Amplitudes de diffusion \mathcal{A}_n en théorie quantique des champs (TQC):



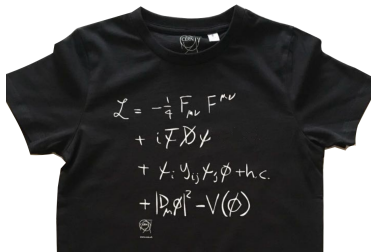
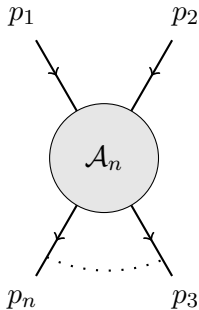
- ▶ Liens entre prédiction théorique et mesure expérimentale

$$|\mathcal{A}_n|^2 = \text{Probabilité de résultat de collision}$$

- ▶ Calcul efficace d'une importance cruciale afin de distinguer la nouvelle physique. Pertinent à la lumière du High-Luminosity LHC 2027-37.

Quand la théorie confronte l'expérience

Amplitudes de diffusion \mathcal{A}_n en théorie quantique des champs (TQC):



- ▶ Liens entre prédiction théorique et mesure expérimentale

$$|\mathcal{A}_n|^2 = \text{Probabilité de résultat de collision}$$

- ▶ Calcul efficace d'une importance cruciale afin de distinguer la nouvelle physique. Pertinent à la lumière du High-Luminosity LHC 2027-37.
- ▶ Structure mathématique remarquable, fertiles interactions avec nombreux branches des maths. [Brown;Goncharov;Postnikov;Sturmfels;Williams,...]

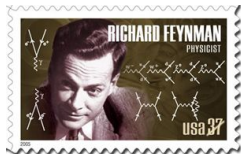
Diagrammes de Feynman

Pour une intensité d'interaction ou *couplage* g faible, $g \ll 1$, calculer de manière *perturbative*,

$$\mathcal{A}_n = g^0 \mathcal{A}_n^{(0)} + g \mathcal{A}_n^{(1)} + g^2 \mathcal{A}_n^{(2)} + \dots$$

Diagrammes de Feynman

Pour une intensité d'interaction ou *couplage* g faible, $g \ll 1$, calculer de manière *perturbative*,



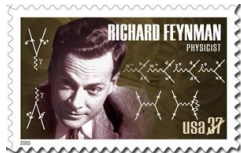
$$\mathcal{A}_n = g^0 \mathcal{A}_n^{(0)} + g \mathcal{A}_n^{(1)} + g^2 \mathcal{A}_n^{(2)} + \dots$$

en termes de *diagrammes de Feynman*. Par exemple,

$$\mathcal{A}_4^{(0)} = \text{diagramme} + \dots, \quad \mathcal{A}_4^{(1)} = \text{diagramme} + \dots, \quad \mathcal{A}_4^{(2)} = \text{diagramme} + \dots$$

Diagrammes de Feynman

Pour une intensité d'interaction ou *couplage* g faible, $g \ll 1$, calculer de manière *perturbative*,



$$\mathcal{A}_n = g^0 \mathcal{A}_n^{(0)} + g \mathcal{A}_n^{(1)} + g^2 \mathcal{A}_n^{(2)} + \dots$$

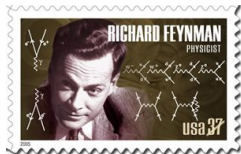
en termes de *diagrammes de Feynman*. Par exemple,

$$\mathcal{A}_4^{(0)} = \text{diagramme à 4 lignes croisées} + \dots, \quad \mathcal{A}_4^{(1)} = \text{diagramme à 4 lignes avec une boucle} + \dots, \quad \mathcal{A}_4^{(2)} = \text{diagramme à 4 lignes avec deux boucles} + \dots$$

- ▶ Chaque boucle \rightarrow intégrale de la quantité de mouvement d'une particule "virtuelle" non observée.

Diagrammes de Feynman & et leurs limitations

Pour une intensité d'interaction ou *couplage* g faible, $g \ll 1$, calculer de manière *perturbative*,



$$\mathcal{A}_n = g^0 \mathcal{A}_n^{(0)} + g \mathcal{A}_n^{(1)} + g^2 \mathcal{A}_n^{(2)} + \dots$$

en termes de *diagrammes de Feynman*. Par exemple,

$$\mathcal{A}_4^{(0)} = \text{diagramme à 4 lignes croisées} + \dots, \quad \mathcal{A}_4^{(1)} = \text{diagramme à 4 lignes avec une boucle} + \dots, \quad \mathcal{A}_4^{(2)} = \text{diagramme à 4 lignes avec deux boucles} + \dots$$

- ▶ Chaque boucle \rightarrow intégrale de la quantité de mouvement d'une particule "virtuelle" non observée.

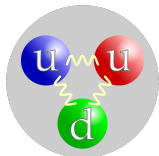
− Difficile à intégrer : Génériquement divergent, classe de fonctions inconnue au-delà d'une boucle.

Diagrammes de Feynman et leurs limitations

➖ *Incapables* de décrire des phénomènes importants où $g \gg 1$,

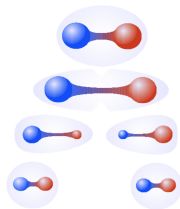
Diagrammes de Feynman et leurs limitations

➖ *Incapables* de décrire des phénomènes importants où $g \gg 1$, par ex.



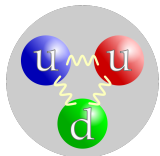
Confinement:

Les quarks et les gluons ne peuvent pas être observés individuellement



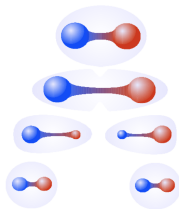
Diagrammes de Feynman et leurs limitations

➖ *Incapables* de décrire des phénomènes importants où $g \gg 1$, par ex.



Confinement:

Les quarks et les gluons ne peuvent pas être observés individuellement



Pas prouvé analytiquement en ChromoDynamique Quantique (QCD), la théorie les décrivant.

Millenium Problem



CLAY
MATHEMATICS
INSTITUTE

Surmonter les limitations: La stratégie

Démarrant du cousin le plus symétrique de la QCD, nous nous appuyerons sur des outils issus de domaines actifs de la recherche en mathématiques.

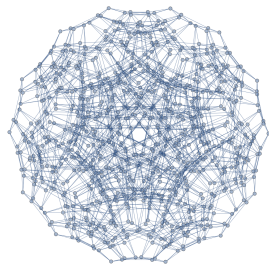
Nous verrons comment la diffusion des particules peut être calculée

Surmonter les limitations: La stratégie

Démarrant du cousin le plus symétrique de la QCD, nous nous appuyerons sur des outils issus de domaines actifs de la recherche en mathématiques.

Nous verrons comment la diffusion des particules peut être calculée

- ▶ *plus efficacement* dans la région perturbative → algèbres amassées → processus physiques en QCD!

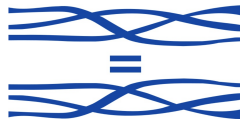
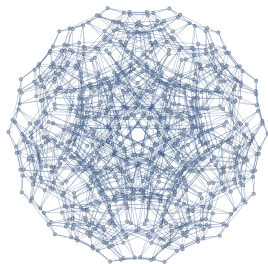


Surmonter les limitations: La stratégie

Démarrant du cousin le plus symétrique de la QCD, nous nous appuyerons sur des outils issus de domaines actifs de la recherche en mathématiques.

Nous verrons comment la diffusion des particules peut être calculée

- ▶ *plus efficacement* dans la région perturbative → algèbres amassées → processus physiques en QCD!
- ▶ *exactement* quel que soit le couplage → intégrabilité → compréhension conceptuelle



Des modèles simples pour des problèmes difficiles

Théorie de Yang-Mills supersymétrique maximale (YMSM) avec groupe de jauge $SU(N)$

- ▶ Cousin le plus simple de la QCD: boson \leftrightarrow fermion (super)symétrie maximale

Des modèles simples pour des problèmes difficiles

Théorie de Yang-Mills supersymétrique maximale (YMSM) avec groupe de jauge $SU(N)$

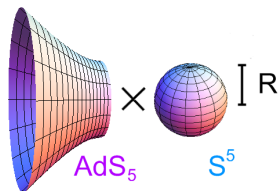
- ▶ Cousin le plus simple de la QCD: boson \leftrightarrow fermion (super)symétrie maximale
- ▶ Limite planaire, $N \rightarrow \infty$ avec $\lambda = g^2 N$ fixe: La symétrie fixe $\mathcal{A}_4, \mathcal{A}_5$.

[Alday, Maldacena'07]

Des modèles simples pour des problèmes difficiles

Théorie de Yang-Mills supersymétrique maximale (YMSSM) avec groupe de jauge $SU(N)$

- ▶ Cousin le plus simple de la QCD: boson \leftrightarrow fermion (super)symétrie maximale
- ▶ Limite planaire, $N \rightarrow \infty$ avec $\lambda = g^2 N$ fixe: La symétrie fixe $\mathcal{A}_4, \mathcal{A}_5$.
[Alday, Maldacena '07]
- ▶ YMSSM \leftrightarrow IIB supercordes sur fond géométrique $AdS_5 \times S^5$
fortement \leftrightarrow faiblement couplé [Maldacena '97]



- ▶ Source d'inspiration pour l'étude de pléthore de phénomènes physiques

Importance pratique de la théorie YMSM

Laboratoire théorique avéré pour développer de nouveaux paradigmes menant à des applications pratiques importantes. Par exemple:

Importance pratique de la théorie YMSM

Laboratoire théorique avéré pour développer de nouveaux paradigmes menant à des applications pratiques importantes. Par exemple:

- ▶ Calcul conventionnel de $\mathcal{A}_6^{(2)}$: 16 pages de fonctions compliquées
[Duhr, Del Duca, Smirnov'09]

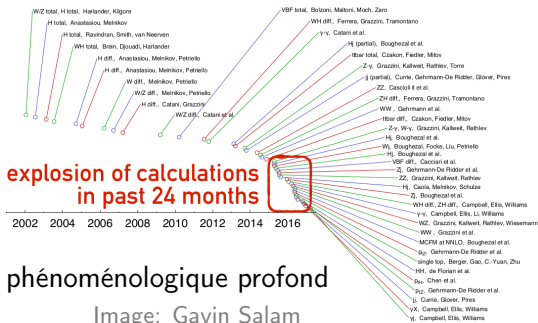
$$\mathcal{A}_6^{(2)} = \text{Li}_4\left(-\frac{\langle 14 \rangle \langle 23 \rangle}{\langle 12 \rangle \langle 34 \rangle}\right) - \text{Li}_4\left(-\frac{\langle 14 \rangle \langle 56 \rangle}{\langle 45 \rangle \langle 16 \rangle}\right) - \frac{1}{2} \text{Li}_4\left(-\frac{\langle 35 \rangle \langle 26 \rangle}{\langle 23 \rangle \langle 56 \rangle}\right) + \text{cyclique} + \text{produits}$$

- ▶ Réduit à deux lignes avec la **méthode des symboles**
[Goncharov, Spradlin, Vergu, Volovich'10]

Importance pratique de la théorie YMSM

Laboratoire théorique avéré pour développer de nouveaux paradigmes menant à des applications pratiques importantes. Par exemple:

- ▶ Calcul conventionnel de $\mathcal{A}_6^{(2)}$: 16 pages de fonctions compliquées
[Duhr, Del Duca, Smirnov'09]



- ▶ Réduit à deux lignes avec la **méthode des symboles**
[Goncharov, Spradlin, Vergu, Volovich'10]

Plan

Les amplitudes joignent théorie et l'expérience

Améliorer la théorie des perturbations

Algèbres amassées en théorie YMSM et en in QCD

Calculer la diffusion de particules exactement

Intégrabilité et la limite d'origine

Conclusions et vision

Algèbres amassées (cluster algebras) [Fomin, Zelevinsky'02]

Algèbres amassées (cluster algebras) [Fomin, Zelevinsky'02]

Algèbres commutatives contenant

- Un ensemble de générateurs distingués, les *variables d'amas* a_i

Algèbres commutatives contenant

- ▶ Un ensemble de générateurs distingués, les *variables d'amas* a_i
- ▶ Regroupés dans des *amas* $\{a_1, \dots, a_d\}$ de rang d

Algèbres commutatives contenant

- ▶ Un ensemble de générateurs distingués, les *variables d'amas* a_i
- ▶ Regroupés dans des *amas* $\{a_1, \dots, a_d\}$ de rang d
- ▶ Construites récursivement à partir d'un amas initial par *mutations*

Algèbres commutatives contenant

- ▶ Un ensemble de générateurs distingués, les *variables d'amas* a_i
- ▶ Regroupés dans des *amas* $\{a_1, \dots, a_d\}$ de rang d
- ▶ Construites récursivement à partir d'un amas initial par *mutations*

Exemple: Algèbre amassée C_2

Algèbres commutatives contenant

- ▶ Un ensemble de générateurs distingués, les *variables d'amas* a_i
- ▶ Regroupés dans des *amas* $\{a_1, \dots, a_d\}$ de rang d
- ▶ Construites récursivement à partir d'un amas initial par *mutations*

Exemple: Algèbre amassée C_2

- ▶ Variables d'amas: $a_m, m \in \mathbb{Z}$

Algèbres commutatives contenant

- ▶ Un ensemble de générateurs distingués, les *variables d'amas* a_i
- ▶ Regroupés dans des *amas* $\{a_1, \dots, a_d\}$ de rang d
- ▶ Construites récursivement à partir d'un amas initial par *mutations*

Exemple: Algèbre amassée C_2

- ▶ Variables d'amas: $a_m, m \in \mathbb{Z}$
- ▶ Amas initial: $\{a_1, a_2\}$

Algèbres commutatives contenant

- ▶ Un ensemble de générateurs distingués, les *variables d'amas* a_i
- ▶ Regroupés dans des *amas* $\{a_1, \dots, a_d\}$ de rang d
- ▶ Construites récursivement à partir d'un amas initial par *mutations*

Exemple: Algèbre amassée C_2

- ▶ Variables d'amas: $a_m, m \in \mathbb{Z}$
- ▶ Amas initial: $\{a_1, a_2\}$
- ▶ Amas: $\{a_m, a_{m+1}\}, m \in \mathbb{Z}$

Algèbres commutatives contenant

- ▶ Un ensemble de générateurs distingués, les *variables d'amas* a_i
- ▶ Regroupés dans des *amas* $\{a_1, \dots, a_d\}$ de *rang* d
- ▶ Construites récursivement à partir d'un amas initial par *mutations*

Exemple: Algèbre amassée C_2

- ▶ Variables d'amas: $a_m, m \in \mathbb{Z}$
- ▶ Amas initial: $\{a_1, a_2\}$
- ▶ Amas: $\{a_m, a_{m+1}\}, m \in \mathbb{Z}$
- ▶ Mutation:

$$a_{m+1} = \begin{cases} \frac{1+a_m}{a_{m-1}} & \text{si } m \text{ impair,} \\ \frac{1+a_m^2}{a_{m-1}} & \text{si } m \text{ pair,} \end{cases}$$

Algèbres commutatives contenant

- ▶ Un ensemble de générateurs distingués, les *variables d'amas* a_i
- ▶ Regroupés dans des *amas* $\{a_1, \dots, a_d\}$ de *rang* d
- ▶ Construites récursivement à partir d'un amas initial par *mutations*

Exemple: Algèbre amassée C_2

$$a_3 = \frac{1 + a_2^2}{a_1},$$

- ▶ Variables d'amas: $a_m, m \in \mathbb{Z}$
- ▶ Amas initial: $\{a_1, a_2\}$
- ▶ Amas: $\{a_m, a_{m+1}\}, m \in \mathbb{Z}$
- ▶ Mutation:

$$a_{m+1} = \begin{cases} \frac{1+a_m}{a_{m-1}} & \text{si } m \text{ impair,} \\ \frac{1+a_m^2}{a_{m-1}} & \text{si } m \text{ pair,} \end{cases}$$

Algèbres commutatives contenant

- ▶ Un ensemble de générateurs distingués, les *variables d'amas* a_i
- ▶ Regroupés dans des *amas* $\{a_1, \dots, a_d\}$ de rang d
- ▶ Construites récursivement à partir d'un amas initial par *mutations*

Exemple: Algèbre amassée C_2

- ▶ Variables d'amas: $a_m, m \in \mathbb{Z}$
- ▶ Amas initial: $\{a_1, a_2\}$
- ▶ Amas: $\{a_m, a_{m+1}\}, m \in \mathbb{Z}$
- ▶ Mutation:

$$a_{m+1} = \begin{cases} \frac{1+a_m}{a_{m-1}} & \text{si } m \text{ impair,} \\ \frac{1+a_m^2}{a_{m-1}} & \text{si } m \text{ pair,} \end{cases}$$

$$a_3 = \frac{1+a_2^2}{a_1},$$

$$a_4 = \frac{1+a_3}{a_2} = \frac{1+a_1+a_2^2}{a_1 a_2},$$

Algèbres commutatives contenant

- ▶ Un ensemble de générateurs distingués, les *variables d'amas* a_i
- ▶ Regroupés dans des *amas* $\{a_1, \dots, a_d\}$ de rang d
- ▶ Construites récursivement à partir d'un amas initial par *mutations*

Exemple: Algèbre amassée C_2

- ▶ Variables d'amas: $a_m, m \in \mathbb{Z}$
- ▶ Amas initial: $\{a_1, a_2\}$
- ▶ Amas: $\{a_m, a_{m+1}\}, m \in \mathbb{Z}$
- ▶ Mutation:

$$a_{m+1} = \begin{cases} \frac{1+a_m}{a_{m-1}} & \text{si } m \text{ impair,} \\ \frac{1+a_m^2}{a_{m-1}} & \text{si } m \text{ pair,} \end{cases}$$

$$a_3 = \frac{1+a_2^2}{a_1},$$

$$a_4 = \frac{1+a_3}{a_2} = \frac{1+a_1+a_2^2}{a_1 a_2},$$

$$a_5 = \frac{1+2a_1+a_1^2+a_2^2}{a_1 a_2^2}$$

Algèbres commutatives contenant

- ▶ Un ensemble de générateurs distingués, les *variables d'amas* a_i
- ▶ Regroupés dans des *amas* $\{a_1, \dots, a_d\}$ de *rang* d
- ▶ Construites récursivement à partir d'un amas initial par *mutations*

Exemple: Algèbre amassée C_2

- ▶ Variables d'amas: $a_m, m \in \mathbb{Z}$
- ▶ Amas initial: $\{a_1, a_2\}$
- ▶ Amas: $\{a_m, a_{m+1}\}, m \in \mathbb{Z}$
- ▶ Mutation:

$$a_{m+1} = \begin{cases} \frac{1+a_m}{a_{m-1}} & \text{si } m \text{ impair,} \\ \frac{1+a_m^2}{a_{m-1}} & \text{si } m \text{ pair,} \end{cases}$$

$$a_3 = \frac{1+a_2^2}{a_1},$$

$$a_4 = \frac{1+a_3}{a_2} = \frac{1+a_1+a_2^2}{a_1 a_2},$$

$$a_5 = \frac{1+2a_1+a_1^2+a_2^2}{a_1 a_2^2}$$

$$a_6 = \frac{1+a_1}{a_2}, \quad a_7 = a_1$$

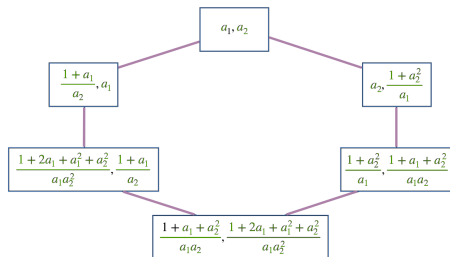
Algèbres commutatives contenant

- ▶ Un ensemble de générateurs distingués, les *variables d'amas* a_i
- ▶ Regroupés dans des *amas* $\{a_1, \dots, a_d\}$ de rang d
- ▶ Construites récursivement à partir d'un amas initial par *mutations*

Exemple: Algèbre amassée C_2

- ▶ Variables d'amas: $a_m, m \in \mathbb{Z}$
- ▶ Amas initial: $\{a_1, a_2\}$
- ▶ Amas: $\{a_m, a_{m+1}\}, m \in \mathbb{Z}$
- ▶ Mutation:

$$a_{m+1} = \begin{cases} \frac{1+a_m}{a_{m-1}} & \text{si } m \text{ impair,} \\ \frac{1+a_m^2}{a_{m-1}} & \text{si } m \text{ pair,} \end{cases}$$



Grphe d'échange: Amas=sommets, mutations=arêtes

Algèbres amassées et amplitudes de diffusion YMSM

L'espace fonctionnel des *polylogarithmes multiples* (PLM)

Algèbres amassées et amplitudes de diffusion YMSM

L'espace fonctionnel des *polylogarithmes multiples* (PLM)

Amplitudes $(- - \pm + \dots +)$ à L boucles = PLM de poids $k = 2L$

[Arkani-Hamed, Bourjaily, Cachazo, Goncharov, Postnikov, Trnka'12][Duhr, Del Duca, Smirnov'09]...[GP'13'14]

Algèbres amassées et amplitudes de diffusion YMSM

L'espace fonctionnel des *polylogarithmes multiples* (PLM)

Amplitudes $(- - \pm + \dots +)$ à L boucles = PLM de poids $k = 2L$

[Arkani-Hamed, Bourjaily, Cachazo, Goncharov, Postnikov, Trnka'12] [Duhr, Del Duca, Smirnov'09] ... [GP'13'14]

Définition

f_k est un PLM de poids k si sa différentielle obéit

$$df_k = \sum_{\alpha} f_{k-1}^{(\alpha)} d \log \phi_{\alpha},$$

Algèbres amassées et amplitudes de diffusion YMSM

L'espace fonctionnel des *polylogarithmes multiples* (PLM)

Amplitudes $(- - \pm + \dots +)$ à L boucles = PLM de poids $k = 2L$

[Arkani-Hamed, Bourjaily, Cachazo, Goncharov, Postnikov, Trnka'12] [Duhr, Del Duca, Smirnov'09] ... [GP'13'14]

Définition

f_k est un PLM de poids k si sa différentielle obéit

$$df_k = \sum_{\alpha} f_{k-1}^{(\alpha)} d \log \phi_{\alpha}, \quad \text{avec}$$

- ▶ $f_{k-1}^{(\alpha)}$ PLM de poids $k-1$, où la récursion se termine par $f_0^{(\alpha)} \in \mathbb{Q}$

Algèbres amassées et amplitudes de diffusion YMSM

L'espace fonctionnel des *polylogarithmes multiples* (PLM)

Amplitudes $(- - \pm + \dots +)$ à L boucles = PLM de poids $k = 2L$

[Arkani-Hamed, Bourjaily, Cachazo, Goncharov, Postnikov, Trnka'12] [Duhr, Del Duca, Smirnov'09] ... [GP'13'14]

Définition

f_k est un PLM de poids k si sa différentielle obéit

$$df_k = \sum_{\alpha} f_{k-1}^{(\alpha)} d \log \phi_{\alpha}, \quad \text{avec}$$

- ▶ $f_{k-1}^{(\alpha)}$ PLM de poids $k-1$, où la récursion se termine par $f_0^{(\alpha)} \in \mathbb{Q}$
- ▶ ϕ_{α} fonctions algébriques des variables indépendantes: les *lettres*

Algèbres amassées et amplitudes de diffusion YMSM

L'espace fonctionnel des *polylogarithmes multiples* (PLM)

Amplitudes $(- - \pm + \dots +)$ à L boucles = PLM de poids $k = 2L$

[Arkani-Hamed, Bourjaily, Cachazo, Goncharov, Postnikov, Trnka'12] [Duhr, Del Duca, Smirnov'09] ... [GP'13'14]

Définition

f_k est un PLM de poids k si sa différentielle obéit

$$df_k = \sum_{\alpha} f_{k-1}^{(\alpha)} d \log \phi_{\alpha}, \quad \text{avec}$$

- ▶ $f_{k-1}^{(\alpha)}$ PLM de poids $k-1$, où la récursion se termine par $f_0^{(\alpha)} \in \mathbb{Q}$
- ▶ ϕ_{α} fonctions algébriques des variables indépendantes: les *lettres*

Exemple : $d\text{Li}_2(x) = -\log(1-x)d \log x$

Algèbres amassées et amplitudes de diffusion YMSM

L'espace fonctionnel des *polylogarithmes multiples* (PLM)

Amplitudes $(- - \pm + \dots +)$ à L boucles = PLM de poids $k = 2L$

[Arkani-Hamed, Bourjaily, Cachazo, Goncharov, Postnikov, Trnka'12] [Duhr, Del Duca, Smirnov'09] ... [GP'13'14]

Définition

f_k est un PLM de poids k si sa différentielle obéit

$$df_k = \sum_{\alpha} f_{k-1}^{(\alpha)} d \log \phi_{\alpha}, \quad \text{avec}$$

- ▶ $f_{k-1}^{(\alpha)}$ PLM de poids $k-1$, où la récursion se termine par $f_0^{(\alpha)} \in \mathbb{Q}$
- ▶ ϕ_{α} fonctions algébriques des variables indépendantes: les *lettres*

Exemple : $d\text{Li}_2(x) = -\log(1-x)d \log x$

Le *symbole* décrit l'application récursive de la définition ci-dessus.

Algèbres amassées et amplitudes de diffusion YMSM

L'espace fonctionnel des *polylogarithmes multiples* (PLM)

Amplitudes $(- - \pm + \dots +)$ à L boucles = PLM de poids $k = 2L$

[Arkani-Hamed, Bourjaily, Cachazo, Goncharov, Postnikov, Trnka'12] [Duhr, Del Duca, Smirnov'09] ... [GP'13'14]

Définition

f_k est un PLM de poids k si sa différentielle obéit

$$df_k = \sum_{\alpha} f_{k-1}^{(\alpha)} d \log \phi_{\alpha}, \quad \text{avec}$$

- ▶ $f_{k-1}^{(\alpha)}$ PLM de poids $k-1$, où la récursion se termine par $f_0^{(\alpha)} \in \mathbb{Q}$
- ▶ ϕ_{α} fonctions algébriques des variables indépendantes: les *lettres*

Exemple : $d\text{Li}_2(x) = -\log(1-x)d \log x \Rightarrow$ alphabet $\{1-x, x\}$

Le *symbole* décrit l'application récursive de la définition ci-dessus.

Collection de ϕ_{α} de chaque étape récursive: L'**alphabet (de symbole)**

Algèbres amassées et amplitudes de diffusion YMSM

Les bonnes variables

Algèbres amassées et amplitudes de diffusion YMSM

Les bonnes variables

Quel est l'alphabet de symbole décrivant \mathcal{A}_n ?

Algèbres amassées et amplitudes de diffusion YMSM

Les bonnes variables

Quel est l'alphabet de symbole décrivant \mathcal{A}_n ? Pour $n = 6, 7$,

- ▶ *variables a_m d'une algèbre amassée Grassmannienne $Gr(4, n)$*

[Golden, Goncharov, Spradlin, Vergu, Volovich'13]

Algèbres amassées et amplitudes de diffusion YMSM

Les bonnes variables

Quel est l'alphabet de symbole décrivant \mathcal{A}_n ? Pour $n = 6, 7$,

- ▶ *variables a_m d'une algèbre amassée Grassmannienne $Gr(4, n)$*

[Golden, Goncharov, Spradlin, Vergu, Volovich'13]

Singularités potentielles de l'amplitude quand les variables d'amas

$$a_m = 0, \infty$$

Algèbres amassées et amplitudes de diffusion YMSM

Les bonnes variables

Quel est l'alphabet de symbole décrivant \mathcal{A}_n ? Pour $n = 6, 7$,

- ▶ *variables a_m d'une algèbre amassée Grassmannienne $Gr(4, n)$*

[Golden, Goncharov, Spradlin, Vergu, Volovich'13]

Singularités potentielles de l'amplitude quand les variables d'amas

$$a_m = 0, \infty$$



Information cruciale pour calculer \mathcal{A}_n via la méthode **bootstrap**:

Algèbres amassées et amplitudes de diffusion YMSM

Les bonnes variables

Quel est l'alphabet de symbole décrivant \mathcal{A}_n ? Pour $n = 6, 7$,

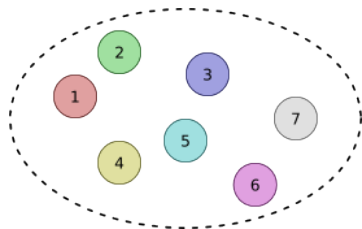
- ▶ *variables a_m d'une algèbre amassée Grassmannienne $Gr(4, n)$*

[Golden, Goncharov, Spradlin, Vergu, Volovich'13]

Singularités potentielles de l'amplitude quand les variables d'amas $a_m = 0, \infty$



Information cruciale pour calculer \mathcal{A}_n via la méthode **bootstrap**:



- ▶ *Nombre fini* de PLM avec alphabet et poids donnés

Algèbres amassées et amplitudes de diffusion YMSM

Les bonnes variables

Quel est l'alphabet de symbole décrivant \mathcal{A}_n ? Pour $n = 6, 7$,

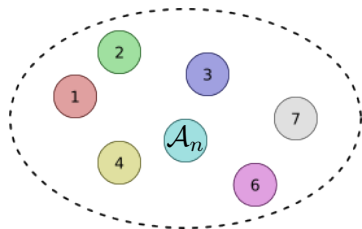
- ▶ *variables a_m d'une algèbre amassée Grassmannienne $Gr(4, n)$*

[Golden, Goncharov, Spradlin, Vergu, Volovich'13]

Singularités potentielles de l'amplitude quand les variables d'amas
 $a_m = 0, \infty$



Information cruciale pour calculer \mathcal{A}_n via la méthode **bootstrap**:



- ▶ *Nombre fini* de PLM avec alphabet et poids donnés
- ▶ Identifier \mathcal{A}_n parmi eux!

Application: Le «Steinmann Cluster Bootstrap» pour des amplitudes YMSM

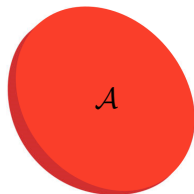
Éviter les diagrammes de Feynman en exploitant la structure analytique

Propriété TQC

Calcul

Application: Le «Steinmann Cluster Bootstrap» pour des amplitudes YMSM

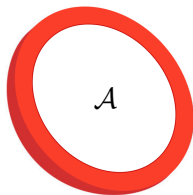
Éviter les diagrammes de Feynman en exploitant la structure analytique



Propriété TQC	Calcul
Coupsures physiques [Gaiotto, Maldacena, Sever, Vieira]	$\mathcal{A}_6^{(L)}, L = 3, 4$ [Dixon, Drummond, (Henn,) Duhr/Hippel, Pennington]

Application: Le «Steinmann Cluster Bootstrap» pour des amplitudes YMSM

Éviter les diagrammes de Feynman en exploitant la structure analytique



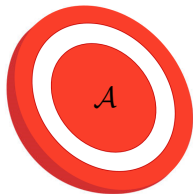
$$\mathcal{A}_{\text{MHV}} = \mathcal{A}(-\text{--}+\dots+)$$

$$\mathcal{A}_{\text{NMHV}} = \mathcal{A}(\text{---}+\dots+)$$

Propriété TQC	Calcul
Coupures physiques [Gaiotto, Maldacena, Sever, Vieira]	$\mathcal{A}_6^{(L)}, L = 3, 4$ [Dixon, Drummond, (Henn,) Duhr/Hippel, Pennington]
Algèbres amassées [Golden, Goncharov, Spradlin, Vergu, Volovich]	$\mathcal{A}_7^{(3)}, \text{MHV}$ [Drummond, GP, Spradlin]

Application: Le «Steinmann Cluster Bootstrap» pour des amplitudes YMSM

Éviter les diagrammes de Feynman en exploitant la structure analytique



Propriété TQC	Calcul
Coupures physiques [Gaiotto, Maldacena, Sever, Vieira]	$\mathcal{A}_6^{(L)}, L = 3, 4$ [Dixon, Drummond, (Henn,) Duhr/Hippel, Pennington]
Algèbres amassées [Golden, Goncharov, Spradlin, Vergu, Volovich]	$\mathcal{A}_{7, \text{MHV}}^{(3)}$ [Drummond, GP, Spradlin]
Relation de Steinmann [Steinmann]	$\mathcal{A}_6^{(5)}, \mathcal{A}_{7, \text{NMHV}}^{(3)}, \mathcal{A}_{7, \text{MHV}}^{(4)}$ [Caron-Huot, Dixon, ...] [Dixon, ..., GP, Spradlin]

$$\mathcal{A}_{\text{MHV}} = \mathcal{A}(- - + \dots +)$$

$$\mathcal{A}_{\text{NMHV}} = \mathcal{A}(- - - + \dots +)$$

Application: Le «Steinmann Cluster Bootstrap» pour des amplitudes YMSM

Éviter les diagrammes de Feynman en exploitant la structure analytique



$$\mathcal{A}_{\text{MHV}} = \mathcal{A}(-\text{--}+\dots+)$$

$$\mathcal{A}_{\text{NMHV}} = \mathcal{A}(\text{---}+\dots+)$$

Propriété TQC	Calcul
Coupures physiques [Gaiotto, Maldacena, Sever, Vieira]	$\mathcal{A}_6^{(L)}$, $L = 3, 4$ [Dixon, Drummond, (Henn, Duhr/Hippel, Pennington)]
Algèbres amassées [Golden, Goncharov, Spradlin, Vergu, Volovich]	$\mathcal{A}_{7, \text{MHV}}^{(3)}$ [Drummond, GP, Spradlin]
Relation de Steinmann [Steinmann]	$\mathcal{A}_6^{(5)}$, $\mathcal{A}_{7, \text{NMHV}}^{(3)}$, $\mathcal{A}_{7, \text{MHV}}^{(4)}$ [Caron-Huot, Dixon, ...] [Dixon, ..., GP, Spradlin]
«Cluster Adjacency» [Drummond, Foster, Gurdogan]	$\mathcal{A}_{7, \text{NMHV}}^{(4)}$ [Drummond, Foster, Gurdogan, GP]
«Extended Steinmann»	$\Leftrightarrow \mathcal{A}_6^{(6)}$, $\mathcal{A}_{6, \text{MHV}}^{(7)}$
«Coaction Principle»	[Caron-Huot, Dixon, Dulat, McLeod, Hippel, GP]

Application: Le «Steinmann Cluster Bootstrap» pour des amplitudes YMSM

Éviter les diagrammes de Feynman en exploitant la structure analytique



$$A_{\text{MHV}} = \mathcal{A}(-\text{--}+\dots+)$$

$$A_{\text{NMHV}} = \mathcal{A}(-\text{---}+\dots+)$$

Propriété TQC	Calcul
Coupsures physiques [Gaiotto, Maldacena, Sever, Vieira]	$\mathcal{A}_6^{(L)}$, $L = 3, 4$ [Dixon, Drummond, (Henn, Duhr/Hippel, Pennington)]
Algèbres amassées [Golden, Goncharov, Spradlin, Vergu, Volovich]	$\mathcal{A}_{7, \text{MHV}}^{(3)}$ [Drummond, GP, Spradlin]
Relation de Steinmann [Steinmann]	$\mathcal{A}_6^{(5)}$, $\mathcal{A}_{7, \text{NMHV}}^{(3)}$, $\mathcal{A}_{7, \text{MHV}}^{(4)}$ [Caron-Huot, Dixon, ...] [Dixon, ..., GP, Spradlin]
«Cluster Adjacency» [Drummond, Foster, Gurdogan]	$\mathcal{A}_{7, \text{NMHV}}^{(4)}$ [Drummond, Foster, Gurdogan, GP]
«Extended Steinmann»	$\Leftrightarrow \mathcal{A}_6^{(6)}$, $\mathcal{A}_{6, \text{MHV}}^{(7)}$
«Coaction Principle»	[Caron-Huot, Dixon, Dulat, McLeod, Hippel, GP]

[Revue: Caron-Huot, Dixon, Drummond, Dulat, Foster, Gurdogan, Hippel, McLeod, GP; CORFU'19]

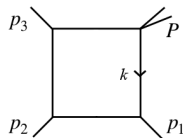
Algèbres amassées pour le monde physique

Algèbres amassées pour le **monde physique**

Cette structure remarquable admet-elle un champs d'application plus large?

Cette structure remarquable admet-elle un champs d'application plus large?

Pour éviter de choisir une théorie spécifique, on l'a cherché dans des intégrales Feynman en régularisation dimensionnelle ($D \rightarrow 4 - 2\epsilon$).



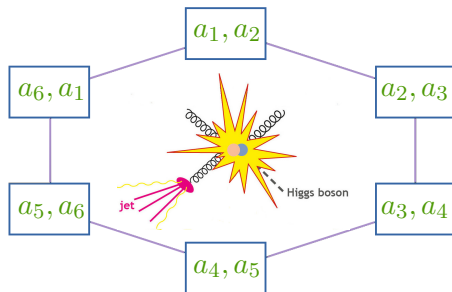
The diagram shows a square loop with four external lines. The top-left vertex has an incoming line labeled p_3 . The bottom-left vertex has an incoming line labeled p_2 . The bottom-right vertex has an incoming line labeled p_1 . The top-right vertex has an outgoing line labeled P . The internal momentum of the top edge is labeled k with an arrow pointing downwards.

$$= \int \frac{d^D k}{k^2 (k + p_1)^2 (k + p_1 + p_2)^2 (k - P)^2}$$

Algèbres amassées pour le monde physique

Cette structure remarquable admet-elle un champs d'application plus large?

Pour éviter de choisir une théorie spécifique, on l'a cherché dans des intégrales Feynman en régularisation dimensionnelle ($D \rightarrow 4 - 2\epsilon$).



Découvert que les algèbres amassées *décrivent les singularités* de nombreux exemples pertinents, comme la production de Higgs+jet en QCD!

[Chicherin,Henn,GP;PRL 126, 091603]

Informations Complémentaires:

<https://www.qu.uni-hamburg.de/activities/news/21-03-18-cluster-algebras.html>



QUANTUM UNIVERSE

Cluster algebras promise simplifications in collider physics calculations

Modern mathematical tools may constrain the complexity of Feynman integrals

18 March 2021

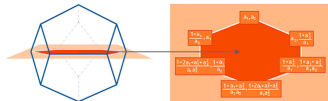


Photo: Max-Planck-Institut für Physik/Carolin Leyck

Theoretical particle physicists compare Feynman integrals to wild beasts that are difficult to tame. In a recent scientific publication, the authors provide evidence that cluster algebras, a new and vibrant area of mathematics, could serve as a principle to control the analytic form of Feynman integrals. This has the potential to simplify theoretical calculations for elementary particle experiments.

To test and to extend the current understanding of Nature, precise theoretical predictions of elementary particle collisions are needed. When the particles interact weakly during the collision, these predictions can be computed by so-called Feynman diagrams. The latter are a method to visualize how the colliding particles will transform to the ones observed after the collision by producing, annihilating and exchanging other unobserved, 'virtual' particles. As the energy and momentum of these virtual particles may be anything that the laws of Nature allow, one additionally has to integrate over

integrals a challenge for scientists is that it is in general not known what they evaluate to as functions of the momenta and quantum numbers of the observed particles before and after the collision.

"More efficient predictions of particle collisions in idealized models of quantum theories have been achieved thanks to the beautiful mathematics of cluster algebras, which for that reason have been at the heart of my research for several years. Our current findings open for the first time the exciting prospect of applications of cluster algebras to the real world", says theoretical physicist Georgios Papathanasiou (DESY), key researcher at the Cluster of Excellence Quantum Universe. Together with his colleagues, he discovered that cluster algebras underlie the analytic structure of Feynman integrals contributing to realistic multi-scale processes, such as Higgs production in association with a jet. Cluster algebras are mathematical objects consisting of a set of variables, arranged in overlapping sets known as clusters. In the simplest setting, each cluster can be geometrically understood as a different triangulation of a polygon, with its cluster variables corresponding to the diagonals responsible for this triangulation.

In the setting of Feynman integrals, cluster variables were found to govern their singularities. This result, which generalizes previous observations about the relevance of cluster algebras in a simplified toy model, may facilitate obtaining results at unprecedented precision: The singularity information they provide has in several cases been essential in determining not only the Feynman integrals, but also the physical quantities they contribute to, via novel bootstrap methods that evade the formidable task of direct integration.

More about cluster algebras

[Surprising cluster algebraic structures found in Higgs amplitudes](#)

CONTACT

Dr. Georgios Papathanasiou
Theory group
Key Researcher
Notkestraße 85, Room 202
22607 Hamburg
Tel: +49 40 8998-2412
Email: georgios.papathanasiou@desy.de

ORIGINAL PUBLICATION

Dmitry Chicherin, Johannes M. Henn, Georgios Papathanasiou: Cluster Algebras for Feynman Integrals
Phys. Rev. Lett. 126, 091603

For this publication, Georgios Papathanasiou was awarded a Best Paper Award by the Cluster of Excellence in September 2021.

Au-delà des algèbres amassées

Elles ne sont pas le fin mot de l'histoire même en théorie de YMSM: Pour amplitudes à $n \geq 8$ pattes, l'algèbre amassée associée **devient infinie!**

Au-delà des algèbres amassées

Elles ne sont pas le fin mot de l'histoire même en théorie de YMSM: Pour amplitudes à $n \geq 8$ pattes, l'algèbre amassée associée **devient infinie!**

Perte de prévisibilité?

Au-delà des algèbres amassées

Elles ne sont pas le fin mot de l'histoire même en théorie de YMSM: Pour amplitudes à $n \geq 8$ pattes, l'algèbre amassée associée **devient infinie!**

Perte de prévisibilité?

Récemment, une proposition pour remédier avec cette infinité a été avancé, en accord avec toutes données connues
[Henke, Papathanasiou'19+'21][Arkani-Hamed,Lam,Spradlin'19][Drummond,Foster et. al.'19]

Au-delà des algèbres amassées

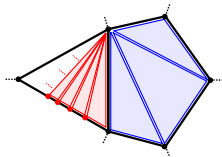
Elles ne sont pas le fin mot de l'histoire même en théorie de YMSM: Pour amplitudes à $n \geq 8$ pattes, l'algèbre amassée associée **devient infinie!**

Perte de prévisibilité?

Récemment, une proposition pour remédier avec cette infinité a été avancé, en accord avec toutes données connues
[Henke, Papathanasiou'19+'21][Arkani-Hamed,Lam,Spradlin'19][Drummond,Foster et. al.'19]

basée sur la relation entre des algèbres amassées et des Grassmanniennes tropicales. [Sturmfels,Speyer][Speyer,Williams]

[Conférence: "Cluster Algebras & Geometry of Scatt.Amplitudes" Workshop, Edinburgh U.]



Outline

Les amplitudes joignent théorie et l'expérience

Améliorer la théorie des perturbations

Algèbres amassées en théorie YMSM et en in QCD

Calculer la diffusion de particules exactement

Intégrabilité et la limite d'origine

Conclusions et vision

Au-delà du régime perturbatif: Intégrabilité

La propriété d'un système physique d'avoir autant de quantités conservées que de degrés de liberté.

Au-delà du régime perturbatif: Intégrabilité

La propriété d'un système physique d'avoir autant de quantités conservées que de degrés de liberté. En 2 dimensions

[Zamolodchikov²,79]

- ▶ Nombre de particules M & quantités de mouvement conservées.

Au-delà du régime perturbatif: Intégrabilité

La propriété d'un système physique d'avoir autant de quantités conservées que de degrés de liberté. En 2 dimensions

[Zamolodchikov^{2,79}]

- ▶ Nombre de particules M & quantités de mouvement conservées.
- ▶ La diffusion à M corps se factorise en une séquence d'interactions à 2 corps \Rightarrow solubilité exacte.

Au-delà du régime perturbatif: Intégrabilité

La propriété d'un système physique d'avoir autant de quantités conservées que de degrés de liberté. En 2 dimensions

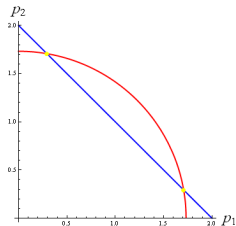
[Zamolodchikov²,79]

- ▶ Nombre de particules M & quantités de mouvement conservées.
- ▶ La diffusion à M corps se factorise en une séquence d'interactions à 2 corps \Rightarrow solubilité exacte.

Intuitivement,

$$M = 2 \quad P = p_1 + p_2$$

$$Q_2 = p_1^2 + p_2^2$$



Au-delà du régime perturbatif: Intégrabilité

La propriété d'un système physique d'avoir autant de quantités conservées que de degrés de liberté. En 2 dimensions

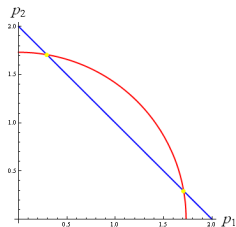
[Zamolodchikov²,79]

- ▶ Nombre de particules M & quantités de mouvement conservées.
- ▶ La diffusion à M corps se factorise en une séquence d'interactions à 2 corps \Rightarrow solubilité exacte.

Intuitivement,

$$M = 2 \quad P = p_1 + p_2$$

$$Q_2 = p_1^2 + p_2^2$$



Au-delà du régime perturbatif: Intégrabilité

La propriété d'un système physique d'avoir autant de quantités conservées que de degrés de liberté. En 2 dimensions

[Zamolodchikov²,79]

- ▶ Nombre de particules M & quantités de mouvement conservées.
- ▶ La diffusion à M corps se factorise en une séquence d'interactions à 2 corps \Rightarrow solubilité exacte.

Intuitivement,

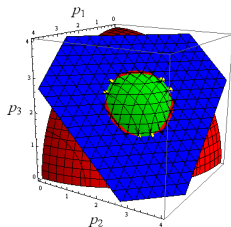
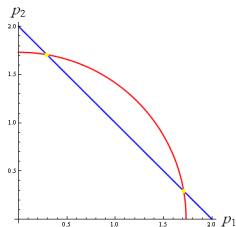
$$M = 2 \quad P = p_1 + p_2$$

$$Q_2 = p_1^2 + p_2^2$$

$$M = 3 \quad P = p_1 + p_2 + p_3$$

$$Q_2 = p_1^2 + p_2^2 + p_3^2$$

$$Q_3 = p_1^3 + p_2^3 + p_3^3$$

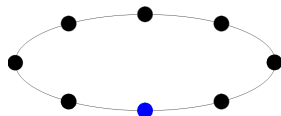


Intégrabilité en théorie des jagues et des cordes

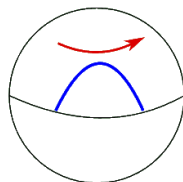
Intégrabilité en théorie des jauges et des cordes

- ▶ Émerges en systèmes physiques qui décrivent

Dimensions d'échelle des opérateurs Δ \Leftrightarrow Énergies des états de cordes E
YMSM Théorie des cordes



chaînes de spins

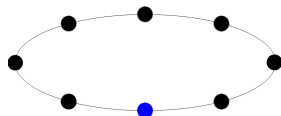


solitons

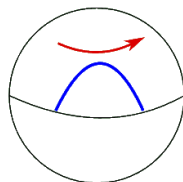
Intégrabilité en théorie des jauges et des cordes

- Émerges en systèmes physiques qui décrivent

Dimensions d'échelle des opérateurs Δ \Leftrightarrow Énergies des états de cordes E
YMSM Théorie des cordes



chaînes de spins



solitons

Permet de déterminer $\Delta = E$ comme fonction exacte du couplage g !

[Minahan,Zarembo'02][Beisert,Eden,Staudacher'06][Gromov,Kazakov,Leurent,Volin'13]

[Arutyunov,...,GP,...,Zarembo]

Intégrabilité en théorie des jagues et des cordes

Un exemple célèbre

Intégrabilité en théorie des jauges et des cordes

Un exemple célèbre

La dimension anormale « cusp » [\[Beisert, Eden, Staudacher\]](#)

$$\Gamma_{\text{cusp}} = 4g^2 \left[\frac{1}{1 + \mathbb{K}} \right]_{11} = 4g^2 [1 - \mathbb{K} + \mathbb{K}^2 + \dots]_{11} \quad \leftarrow \text{élément matriciel}$$

$$\mathbb{K}_{ij} = 2j(-1)^{ij+j} \int_0^\infty \frac{dt}{t} \frac{J_i(2gt)J_j(2gt)}{e^t - 1}, \quad i, j = 1, 2, \dots \quad J_i(x) : \text{f}^n \text{ de Bessel}$$

qui contrôle des operateurs $SL(2)$ de spin $S \gg 1$, [\[Korchemsky\]](#)

$$\Delta - S = 2\Gamma_{\text{cusp}} \log S + \mathcal{O}(\log^0 S).$$

Intégrabilité en théorie des jauges et des cordes

Un exemple célèbre

La dimension anormale « cusp » [Beisert, Eden, Staudacher]

$$\Gamma_{\text{cusp}} = 4g^2 \left[\frac{1}{1 + \mathbb{K}} \right]_{11} = 4g^2 [1 - \mathbb{K} + \mathbb{K}^2 + \dots]_{11} \quad \leftarrow \text{élément matriciel}$$

$$\mathbb{K}_{ij} = 2j(-1)^{ij+j} \int_0^\infty \frac{dt}{t} \frac{J_i(2gt)J_j(2gt)}{e^t - 1}, \quad i, j = 1, 2, \dots \quad J_i(x) : \text{f}^n \text{ de Bessel}$$

qui contrôle des operateurs $SL(2)$ de spin $S \gg 1$, [Korchemsky]

$$\Delta - S = 2\Gamma_{\text{cusp}} \log S + \mathcal{O}(\log^0 S).$$

Espoir de progrès similaire pour des amplitudes de diffusion?

Intégrabilité pour des amplitudes de diffusion

Initialement, établi principalement dans la *limite colinéaire*.

[Alday,Gaiotto,Maldacena,Sever,Vieira'10][Basso,Sever,Vieira'13][GP'13+14]

Intégrabilité pour des amplitudes de diffusion

Une découverte originale

Initialement, établi principalement dans la *limite colinéaire*.

[Alday,Gaiotto,Maldacena,Sever,Vieira'10][Basso,Sever,Vieira'13][GP'13+14]

Néanmoins, des simplifications très intéressantes apparaissent à de nouveaux régimes, p.e.x. la limite d'«origine» $u_1, u_2, u_3 \rightarrow 0$

[Caron-Huot,Dixon,Dulat,McLeod,Hippel,GP'19]

$$\ln \mathcal{A}_6 = -\frac{\Gamma_0}{24} \ln^2(u_1 u_2 u_3) - \frac{\Gamma_{\pi/3}}{24} \sum_{i=1}^3 \ln^2\left(\frac{u_i}{u_{i+1}}\right) + C_0,$$

Intégrabilité pour des amplitudes de diffusion

Une découverte originale

Initialement, établi principalement dans la *limite colinéaire*.

[Alday,Gaiotto,Maldacena,Sever,Vieira'10][Basso,Sever,Vieira'13][GP'13+14]

Néanmoins, des simplifications très intéressantes apparaissent à de nouveaux régimes, p.e.x. la limite d'«origine» $u_1, u_2, u_3 \rightarrow 0$

[Caron-Huot,Dixon,Dulat,McLeod,Hippel,GP'19]

$$\ln \mathcal{A}_6 = -\frac{\Gamma_0}{24} \ln^2(u_1 u_2 u_3) - \frac{\Gamma_{\pi/3}}{24} \sum_{i=1}^3 \ln^2\left(\frac{u_i}{u_{i+1}}\right) + C_0,$$

$$\blacktriangleright \Gamma_0 = 4g^2 - \frac{8\pi^2 g^4}{3} + \frac{128\pi^4 g^6}{45} - \frac{1088\pi^6 g^8}{315} + \mathcal{O}(g^{10}),$$

Intégrabilité pour des amplitudes de diffusion

Une découverte originale

Initialement, établi principalement dans la *limite colinéaire*.

[Alday,Gaiotto,Maldacena,Sever,Vieira'10][Basso,Sever,Vieira'13][GP'13+14]

Néanmoins, des simplifications très intéressantes apparaissent à de nouveaux régimes, p.e.x. la limite d'«origine» $u_1, u_2, u_3 \rightarrow 0$

[Caron-Huot,Dixon,Dulat,McLeod,Hippel,GP'19]

$$\ln \mathcal{A}_6 = -\frac{\Gamma_0}{24} \ln^2(u_1 u_2 u_3) - \frac{\Gamma_{\pi/3}}{24} \sum_{i=1}^3 \ln^2\left(\frac{u_i}{u_{i+1}}\right) + C_0,$$

- ▶ $\Gamma_0 = 4g^2 - \frac{8\pi^2 g^4}{3} + \frac{128\pi^4 g^6}{45} - \frac{1088\pi^6 g^8}{315} + \mathcal{O}(g^{10}),$
- ▶ $\Gamma_0 \rightarrow \frac{2}{\pi^2} \ln \cosh(2\pi g) !$ [Basso,Dixon,GP'20; PRL 124, 161603]

Intégrabilité pour des amplitudes de diffusion

Une découverte originale

Initialement, établi principalement dans la *limite colinéaire*.

[Alday,Gaiotto,Maldacena,Sever,Vieira'10][Basso,Sever,Vieira'13][GP'13+14]

Néanmoins, des simplifications très intéressantes apparaissent à de nouveaux régimes, p.e.x. la limite d'«origine» $u_1, u_2, u_3 \rightarrow 0$

[Caron-Huot,Dixon,Dulat,McLeod,Hippel,GP'19]

$$\ln \mathcal{A}_6 = -\frac{\Gamma_0}{24} \ln^2(u_1 u_2 u_3) - \frac{\Gamma_{\pi/3}}{24} \sum_{i=1}^3 \ln^2\left(\frac{u_i}{u_{i+1}}\right) + C_0,$$

- ▶ $\Gamma_0 = 4g^2 - \frac{8\pi^2 g^4}{3} + \frac{128\pi^4 g^6}{45} - \frac{1088\pi^6 g^8}{315} + \mathcal{O}(g^{10}),$
- ▶ $\Gamma_0 \rightarrow \frac{2}{\pi^2} \ln \cosh(2\pi g) !$ [Basso,Dixon,GP'20; PRL 124, 161603]

Explication? S'applique à $\Gamma_{\pi/3}, C_0$ aussi?

Limite d'origine de l'amplitude à six pattes à *couplage fini*

Grâce à la resommation du limite colinéaire, arriver à la limite d'origine $u_1, u_2, u_3 \rightarrow 0$, où

$$\ln \mathcal{A}_6 = -\frac{\Gamma_0}{24} \ln^2(u_1 u_2 u_3) - \frac{\Gamma_{\pi/3}}{24} \sum_{i=1}^3 \ln^2\left(\frac{u_i}{u_{i+1}}\right) + C_0,$$

avec

[Basso, Dixon, GP'20; PRL 124, 161603]

$$\begin{aligned} \Gamma_\alpha &= 4g^2 \left[\frac{1}{1+\mathbb{K}(\alpha)} \right]_{11} = 4g^2 \left[1 - \mathbb{K}(\alpha) + \mathbb{K}^2(\alpha) + \dots \right]_{11}, \\ \mathbb{K}(\alpha) &= 2 \cos \alpha \begin{bmatrix} \cos \alpha \mathbb{K}_{\circ\circ} & \sin \alpha \mathbb{K}_{\circ\bullet} \\ \sin \alpha \mathbb{K}_{\bullet\circ} & \cos \alpha \mathbb{K}_{\bullet\bullet} \end{bmatrix}, \quad \mathbb{K}_{\circ\circ} = \mathbb{K}_{2n+1, 2m+1}, \\ & \quad \mathbb{K}_{\circ\bullet} = \mathbb{K}_{2n+1, 2m} \text{ etc}, \\ C_0 &= -\frac{\zeta_2}{2} \Gamma_{\pi/4} + D_{\pi/4} - D_{\pi/3} - \frac{1}{2} D_0, \quad D_\alpha \equiv \ln \det [1 + \mathbb{K}(\alpha)]. \end{aligned}$$

\mathbb{K}_{ij} : Noyau Beisert-Eden-Staudacher kernel, déformé par un paramètre «tilt» α !

Limite d'origine de l'amplitude à six pattes à *couplage fini*

Grâce à la resommation du limite colinéaire, arriver à la limite d'origine $u_1, u_2, u_3 \rightarrow 0$, où

$$\ln \mathcal{A}_6 = -\frac{\Gamma_0}{24} \ln^2(u_1 u_2 u_3) - \frac{\Gamma_{\pi/3}}{24} \sum_{i=1}^3 \ln^2\left(\frac{u_i}{u_{i+1}}\right) + C_0,$$

avec

[Basso,Dixon,GP'20; PRL 124, 161603]

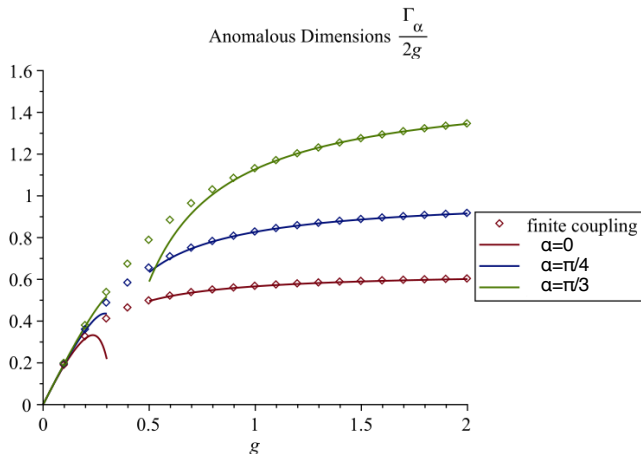
$$\begin{aligned} \Gamma_\alpha &= 4g^2 \left[\frac{1}{1+\mathbb{K}(\alpha)} \right]_{11} = 4g^2 [1 - \mathbb{K}(\alpha) + \mathbb{K}^2(\alpha) + \dots]_{11}, \\ \mathbb{K}(\alpha) &= 2 \cos \alpha \begin{bmatrix} \cos \alpha \mathbb{K}_{\circ\circ} & \sin \alpha \mathbb{K}_{\circ\bullet} \\ \sin \alpha \mathbb{K}_{\bullet\circ} & \cos \alpha \mathbb{K}_{\bullet\bullet} \end{bmatrix}, \quad \mathbb{K}_{\circ\circ} = \mathbb{K}_{2n+1,2m+1}, \\ & \quad \mathbb{K}_{\circ\bullet} = \mathbb{K}_{2n+1,2m} \text{ etc,} \\ C_0 &= -\frac{\zeta_2}{2} \Gamma_{\pi/4} + D_{\pi/4} - D_{\pi/3} - \frac{1}{2} D_0, \quad D_\alpha \equiv \ln \det [1 + \mathbb{K}(\alpha)]. \end{aligned}$$

\mathbb{K}_{ij} : Noyau Beisert-Eden-Staudacher kernel, déformé par un paramètre «tilt» α ! Joue un rôle aussi aux généralisations du limite d'origine à $n = 7, 8$

[Basso,Dixon,Liu, GP, en cours]

Limite d'origine de l'amplitude à six pattes à *couplage fini*

[Basso,Dixon,GP'20; PRL 124, 161603]



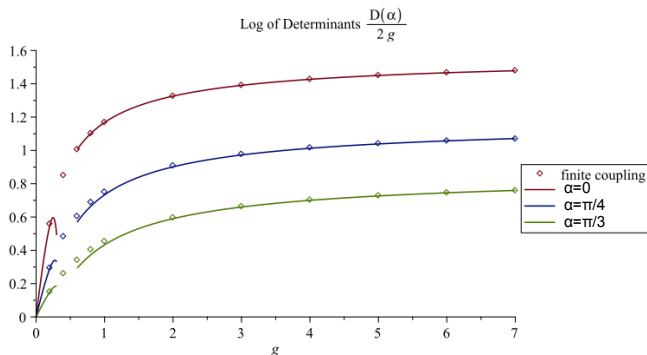
[Conférence: "Integrability in Gauge & String Theory 2020"]

Comparaison: Évaluation numérique / développements analytiques $g^{\pm 1} \ll 1$

Limite d'origine de l'amplitude à six pattes à *couplage fini*

[Basso,Dixon,**GP**'20; PRL 124, 161603]

$$C_0 = -\frac{\zeta_2}{2}\Gamma_{\pi/4} + D(\pi/4) - D(\pi/3) - \frac{1}{2}D(0).$$



De même, \mathcal{A}_n peut être déterminée à tout ordre dans la limite multi-Regge.
[Del Duca,Druc,Drummond,Duhr,Dulat,Marzucca,**GP**,Verbeek'20; PRL 124, 161602]

Conclusions

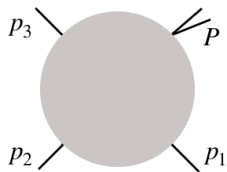
1. Amplitudes de diffusion: L'arène où la physique théorique des particules rencontre l'expérience.
2. De belles mathématiques d'algèbres amassées contrôlent la structure analytique de plusieurs intégrales de Feynman et des processus réels!
3. Puissante propriété d'intégrabilité → description exacte de la diffusion dans certaines limites du cousin le plus simple de la QCD.

Perspective d'avenir

- ▶ Application des algèbres amassées pour simplifier des futurs calculs nécessaires au «High Luminosity LHC» 2027-2037.
- ▶ Diffusion exacte quelle que soit la multiplicité, le couplage et la cinématique. Leçons à tirer pour des théories plus réalistes.
- ▶ Connexion avec des généralisations des algèbres amassées apparaissant dans d'autres domaines de la math-physique: systèmes-Y, compte d'états BPS des théories de champ supersymétriques, symétrie miroir.

Cluster Algebras and Feynman Integrals

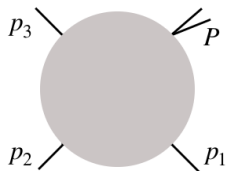
Main Example: Four-point functions with one leg offshell/massive



$$p_i^2 = 0, \quad P^2 \neq 0$$

Cluster Algebras and Feynman Integrals

Main Example: Four-point functions with one leg offshell/massive



$$p_i^2 = 0, \quad P^2 \neq 0$$

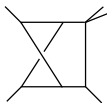
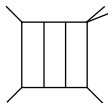
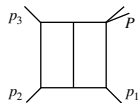
► Kinematic variables:

$$z_1 \equiv \frac{2p_1 \cdot p_2}{P^2}, \quad z_2 \equiv \frac{2p_2 \cdot p_3}{P^2}, \quad z_3 \equiv \frac{2p_1 \cdot p_3}{P^2},$$

with $z_1 + z_2 + z_3 = 1$.

Cluster Algebras and Feynman Integrals

Main Example: Four-point functions with one leg offshell/massive



$$p_i^2 = 0, \quad P^2 \neq 0$$

- ▶ Kinematic variables:

$$z_1 \equiv \frac{2p_1 \cdot p_2}{P^2}, \quad z_2 \equiv \frac{2p_2 \cdot p_3}{P^2}, \quad z_3 \equiv \frac{2p_1 \cdot p_3}{P^2},$$

with $z_1 + z_2 + z_3 = 1$.

- ▶ Alphabet of all known master integrals: [\[Gehrmann,Remiddi\]](#)
[\[Di Vita, Mastrolia, Schubert, Yundin\]](#)

$$\Phi_{2\text{dHPL}} = \{z_1, z_2, z_3, 1 - z_1, 1 - z_2, 1 - z_3\},$$

“2-dimensional HPLs” [\[Gehrmann,Remiddi\]](#)

Identifying Candidate Cluster Algebras

# independent variables	2dHPL	
	2	

Identifying Candidate Cluster Algebras

# independent variables	2dHPL	A_2
	2	2

Identifying Candidate Cluster Algebras

	2dHPL	A_2	
# independent variables	2	2	
# letters	6	5	☹

Identifying Candidate Cluster Algebras

	2dHPL	C_2	
# independent variables	2	2	
# letters	6	6	😊

Identifying Candidate Cluster Algebras

	2dHPL	C_2	
# independent variables	2	2	
# letters	6	6	😊
# weight-2 symbols	27	27	😊

Identifying Candidate Cluster Algebras

	2dHPL	C_2	
# independent variables	2	2	
# letters	6	6	☺
# weight-2 symbols	27	27	☺
# weight-3 symbols	109	109	☺

$$\Phi_{2\text{dHPL}} = \{z_1, z_2, 1 - z_1 - z_2, 1 - z_1, 1 - z_2, z_1 + z_2\},$$

$$\Phi_{C_2} = \{a_1, a_2, 1 + a_1, 1 + a_2^2, 1 + a_1 + a_2^2, 1 + 2a_1 + a_1^2 + a_2^2\}.$$

Identifying Candidate Cluster Algebras

	2dHPL	C_2	
# independent variables	2	2	
# letters	6	6	☺
# weight-2 symbols	27	27	☺
# weight-3 symbols	109	109	☺

$$\Phi_{2\text{dHPL}} = \{z_1, z_2, 1 - z_1 - z_2, 1 - z_1, 1 - z_2, z_1 + z_2\},$$

$$z_1 = -\frac{a_2^2}{1 + a_1}, \quad z_2 = -\frac{1 + a_1 + a_2^2}{a_1(1 + a_1)}.$$

$$\Phi_{C_2} = \{a_1, a_2, 1 + a_1, 1 + a_2^2, 1 + a_1 + a_2^2, 1 + 2a_1 + a_1^2 + a_2^2\}.$$

Identifying Candidate Cluster Algebras

	2dHPL	C_2	
# independent variables	2	2	
# letters	6	6	☺
# weight-2 symbols	27	27	☺
# weight-3 symbols	109	109	☺

$$\Phi_{2\text{dHPL}} = \{z_1, z_2, 1 - z_1 - z_2, 1 - z_1, 1 - z_2, z_1 + z_2\},$$

$$z_1 = -\frac{a_2^2}{1 + a_1}, \quad z_2 = -\frac{1 + a_1 + a_2^2}{a_1(1 + a_1)}.$$

$$\Phi_{C_2} = \{a_1, a_2, 1 + a_1, 1 + a_2^2, 1 + a_1 + a_2^2, 1 + 2a_1 + a_1^2 + a_2^2\}.$$

2dHPLs = C_2 polylogarithms!

Physical Significance

2dHPL master integrals relevant for a wealth of physical processes:

Physical Significance

2dHPL master integrals relevant for a wealth of physical processes:

- ▶ $e^+e^- \rightarrow \gamma^* \rightarrow 3 \text{ jets}$
[Garland,Gehrmann,Glover
Koukoutsakis,Remiddi]

Physical Significance

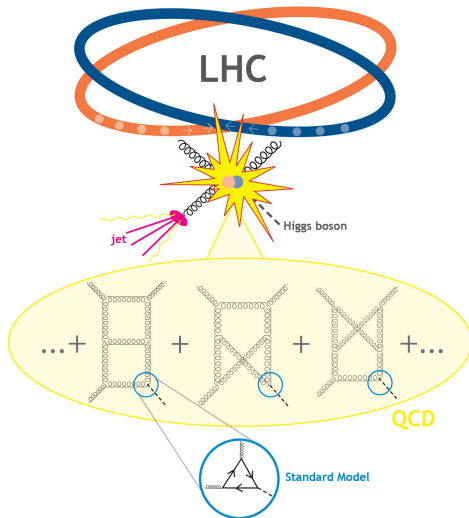
2dHPL master integrals relevant for a wealth of physical processes:

- ▶ $e^+e^- \rightarrow \gamma^* \rightarrow 3 \text{ jets}$
[Garland, Gehrmann, Glover
Koukoutsakis, Remiddi]
- ▶ $pp \rightarrow Z\text{-boson} + \text{jet}$
[Gehrmann, Tancredi, Weihs]

Physical Significance: C_2 Cluster Algebra Underlies Higgs Amplitudes!

2dHPL master integrals relevant for a wealth of physical processes:

- ▶ $e^+e^- \rightarrow \gamma^* \rightarrow 3$ jets
[Garland, Gehrmann, Glover
Koukoutsakis, Remiddi]
 - ▶ $pp \rightarrow Z$ -boson + jet
[Gehrmann, Tancredi, Weihs]
 - ▶ $pp \rightarrow$ Higgs + jet
[Gehrmann, Jaquier, Glover,
Koukoutsakis] [Duhr]
- in heavy top mass limit



Higher-point MSYM Alphabets: Long-standing Questions

In $\mathcal{N} = 4$ SYM, relevant cluster algebras for \mathcal{A}_n with $n \geq 8$

1. become infinite \Rightarrow loss of predictability?

Higher-point MSYM Alphabets: Long-standing Questions

In $\mathcal{N} = 4$ SYM, relevant cluster algebras for \mathcal{A}_n with $n \geq 8$

1. become infinite \Rightarrow loss of predictability?
2. Cannot describe more intricate singularities found in explicit calculations [\[He,Li,Zhang'19'20\]](#)[\[Li,Zhang'21\]](#)

Higher-point MSYM Alphabets: Long-standing Questions

In $\mathcal{N} = 4$ SYM, relevant cluster algebras for \mathcal{A}_n with $n \geq 8$

1. become infinite \Rightarrow loss of predictability?
2. Cannot describe more intricate singularities found in explicit calculations [\[He,Li,Zhang'19'20\]](#)[\[Li,Zhang'21\]](#)

Natural resolution of both issues from connection with tropical geometry

Higher-point MSYM Alphabets: Long-standing Questions

In $\mathcal{N} = 4$ SYM, relevant cluster algebras for \mathcal{A}_n with $n \geq 8$

1. become infinite \Rightarrow loss of predictability?
2. Cannot describe more intricate singularities found in explicit calculations [\[He,Li,Zhang'19'20\]](#)[\[Li,Zhang'21\]](#)

Natural resolution of both issues from connection with tropical geometry

Explicit singularity predictions for

- ▶ $n = 8$ [\[Henke, Papathanasiou'19\]](#)
see also [\[Arkani-Hamed,Lam,Spradlin'19\]](#)[\[Drummond,Foster,Gurdogan,Kalousios'19B\]](#)

Higher-point MSYM Alphabets: Long-standing Questions

In $\mathcal{N} = 4$ SYM, relevant cluster algebras for \mathcal{A}_n with $n \geq 8$

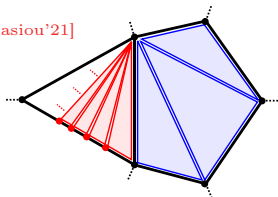
1. become infinite \Rightarrow loss of predictability?
2. Cannot describe more intricate singularities found in explicit calculations [He,Li,Zhang'19'20][Li,Zhang'21]

Natural resolution of both issues from connection with tropical geometry

Explicit singularity predictions for

- ▶ $n = 8$ [Henke, Papathanasiou'19]
see also [Arkani-Hamed,Lam,Spradlin'19][Drummond,Foster,Gurdogan,Kalousios'19B]
- ▶ In principle any n , explicitly $n = 9$, [Henke, Papathanasiou'21]
see also [Ren,Spradlin,Volovich'21]

In agreement with all known amplitude data.

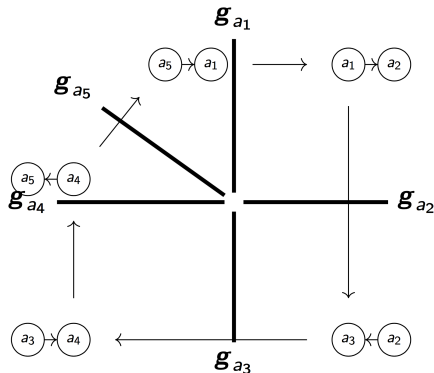


The Dual Cluster Fan

Equivalent description of exchange graph

Take normal vectors (of undetermined length) to maximal dimension faces

- ▶ Give rise to *rays* (half-lines emanating from origin) \leftrightarrow cluster variables
- ▶ Grouped in *cones* \leftrightarrow clusters

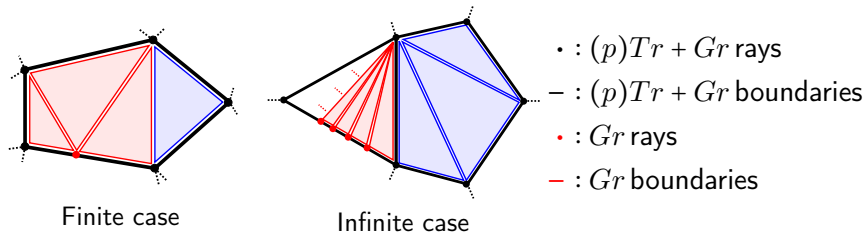


Collection of cones = (*polyhedral*) fan [Fomin, Zelevinsky'01B'02]

Tropical Grassmannians $Tr(k, n)$ and Cluster Algebras

- ▶ Finite $Gr(k, n)$ cluster algebras *triangulate* $Tr(k, n)$! [Speyer, Williams]

Illustration: Intersections of 3D cones with sphere \sim locally screen plane



- ▶ Triangulation used to compute generalized biadjoint scalar amplitudes [Drummond, Foster, Gurdogan, Kalousios'19B][Cachazo, Early, Guevara, Mizera'19]

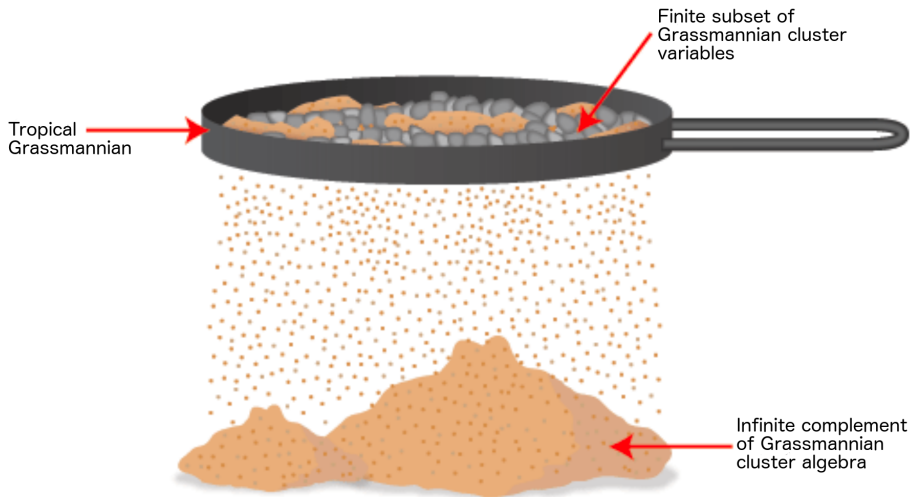
Sometimes *redundant* (cluster but not tropical – in red) rays produced

Idea: Cluster algebra ∞ due to infinitely redundant triangulations!
Select *finite subset* of cluster variables corresponding to tropical rays

[Henke, Papathanasiou'19][Arkani-Hamed, Lam, Spradlin'19][Drummond, Foster, Gurdogan, Kalousios'19B]

Tropical Grassmannians and Cluster Algebras

Schematic relation



Origin at Strong coupling: Expansion & Comparison with String Theory

Expanded Γ_α to four orders in $1/g$, and C_0 to two. For example,

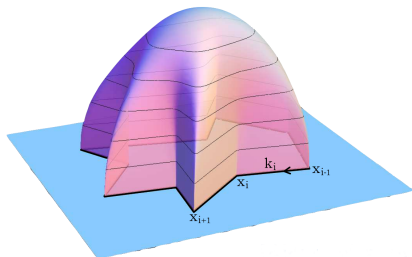
$$\Gamma_\alpha = \frac{8\alpha g}{\pi \sin(2\alpha)} + \mathcal{O}(g^0), \quad D(\alpha) = 4\pi g \left[\frac{1}{4} - \frac{\alpha^2}{\pi^2} \right] + \mathcal{O}(g^0).$$

Origin at Strong coupling: Expansion & Comparison with String Theory

Expanded Γ_α to four orders in $1/g$, and C_0 to two. For example,

$$\Gamma_\alpha = \frac{8\alpha g}{\pi \sin(2\alpha)} + \mathcal{O}(g^0), \quad D(\alpha) = 4\pi g \left[\frac{1}{4} - \frac{\alpha^2}{\pi^2} \right] + \mathcal{O}(g^0).$$

Via gauge/string duality, at leading strong-coupling order $\mathcal{W} \sim e^{-2g(\text{Area})}$ of string ending on \mathcal{W} at boundary of AdS space. [Alday,Maldacena]



Origin at Strong coupling: Expansion & Comparison with String Theory

Expanded Γ_α to four orders in $1/g$, and C_0 to two. For example,

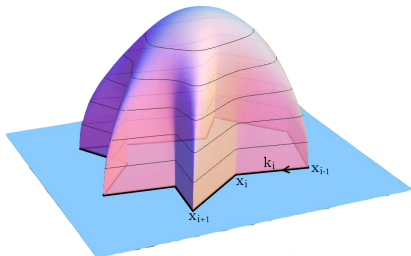
$$\Gamma_\alpha = \frac{8\alpha g}{\pi \sin(2\alpha)} + \mathcal{O}(g^0), \quad D(\alpha) = 4\pi g \left[\frac{1}{4} - \frac{\alpha^2}{\pi^2} \right] + \mathcal{O}(g^0).$$

Via gauge/string duality, at leading strong-coupling order $\mathcal{W} \sim e^{-2g(\text{Area})}$ of string ending on \mathcal{W} at boundary of AdS space. [Alday,Maldacena]

At $u_1 = u_2 = u_3 \rightarrow 0$:

[Alday,Gaiotto,Maldacena][Basso,Sever,Vieira]

$$\frac{\ln \mathcal{E}_6}{\Gamma_{\text{cusp}}} = -\frac{3}{4\pi} \ln^2 u - \frac{\pi^2}{12} - \frac{\pi}{6} + \frac{\pi}{72} + \mathcal{O}(u^{-1})$$



Origin at Strong coupling: Expansion & Comparison with String Theory

Expanded Γ_α to four orders in $1/g$, and C_0 to two. For example,

$$\Gamma_\alpha = \frac{8\alpha g}{\pi \sin(2\alpha)} + \mathcal{O}(g^0), \quad D(\alpha) = 4\pi g \left[\frac{1}{4} - \frac{\alpha^2}{\pi^2} \right] + \mathcal{O}(g^0).$$

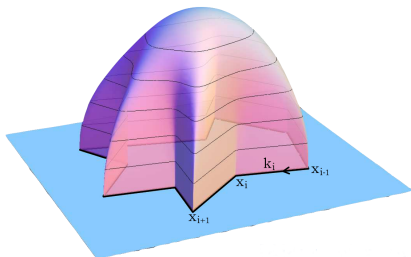
Via gauge/string duality, at leading strong-coupling order $\mathcal{W} \sim e^{-2g(\text{Area})}$ of string ending on \mathcal{W} at boundary of AdS space. [Alday,Maldacena]

At $u_1 = u_2 = u_3 \rightarrow 0$:

[Alday,Gaiotto,Maldacena][Basso,Sever,Vieira]

$$\frac{\ln \mathcal{E}_6}{\Gamma_{\text{cusp}}} = -\frac{3}{4\pi} \ln^2 u - \frac{\pi^2}{12} - \frac{\pi}{6} + \frac{\pi}{72} + \mathcal{O}(u^{-1})$$

Perfect agreement!



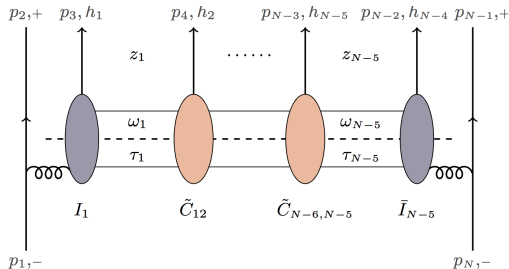
The high-energy/multi-Regge Limit (MRL)

May similarly relate integrable collinear limit with conceptually and practically important $1 + 2 \rightarrow 3 + \dots + N - 2$ high-energy limit.

The high-energy/multi-Regge Limit (MRL)

May similarly relate integrable collinear limit with conceptually and practically important $1 + 2 \rightarrow 3 + \dots + N - 2$ high-energy limit.

Obtain well-defined dispersion integral represented graphically as

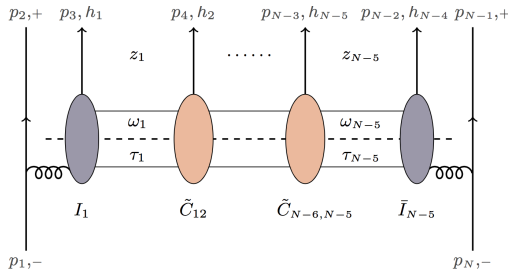


and determine previously unknown building block, \tilde{C}_{ii+1} to all loops.

The high-energy/multi-Regge Limit (MRL)

May similarly relate integrable collinear limit with conceptually and practically important $1 + 2 \rightarrow 3 + \dots + N - 2$ high-energy limit.

Obtain well-defined dispersion integral represented graphically as

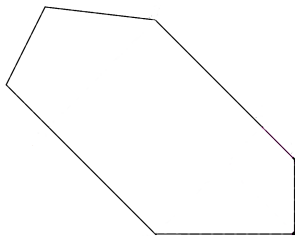


and determine previously unknown building block, \tilde{C}_{ii+1} to all loops.

All-order amplitudes in MRL at any multiplicity!

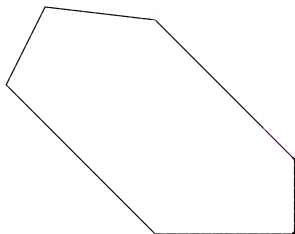
[Del Duca,Druc,Drummond,Duhr,Dulat,Marzucca,GP,Verbeek'19]

Integrability in Scattering Amplitudes/Wilson Loops?



Integrability in Scattering Amplitudes/Wilson Loops?

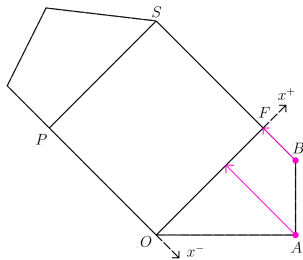
Not yet understood in general kinematics. Good starting point, however, particular **collinear limit**.



Integrability in Scattering Amplitudes/Wilson Loops?

Not yet understood in general kinematics. Good starting point, however, particular **collinear limit**. In new kinem. variables τ, σ, ϕ , given by $\tau \rightarrow \infty$.

$$u_2 = \frac{1}{e^{2\tau} + 1}, \quad u_1 = e^{2\tau+2\sigma} u_2 u_3,$$
$$u_3 = \frac{1}{1 + e^{2\sigma} + 2e^{\sigma-\tau} \cosh \varphi + e^{-2\tau}}.$$

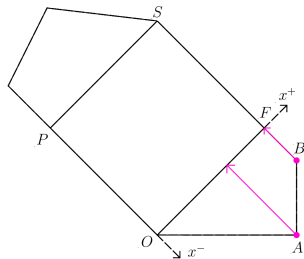


Integrability in Scattering Amplitudes/Wilson Loops?

Not yet understood in general kinematics. Good starting point, however, particular **collinear limit**. In new kinem. variables τ, σ, ϕ , given by $\tau \rightarrow \infty$.

In convenient normalization,

$$\mathcal{W}_6 \equiv \mathcal{E}_6 e^{\frac{1}{2} \Gamma_{\text{cusp}}(\sigma^2 + \tau^2 + \zeta_2)}$$

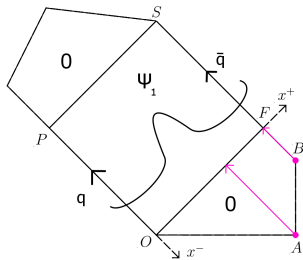


Integrability in Scattering Amplitudes/Wilson Loops?

Not yet understood in general kinematics. Good starting point, however, particular **collinear limit**. In new kinem. variables τ, σ, ϕ , given by $\tau \rightarrow \infty$.

In convenient normalization, conformal symmetry implies

$$\mathcal{W}_6 = \sum_{\psi_i} e^{-E_i \tau + i p_i \sigma + a_i \phi} \mathcal{P}(0|\psi_i) \mathcal{P}(\psi_i|0)$$



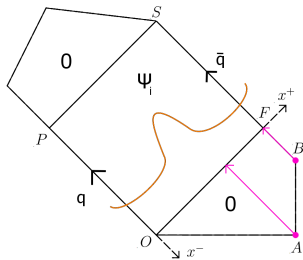
Integrability in Scattering Amplitudes/Wilson Loops?

Not yet understood in general kinematics. Good starting point, however, particular **collinear limit**. In new kinem. variables τ, σ, ϕ , given by $\tau \rightarrow \infty$.

In convenient normalization, conformal symmetry implies

$$\mathcal{W}_6 = \sum_{\psi_i} e^{-E_i \tau + i p_i \sigma + a_i \phi} \mathcal{P}(0|\psi_i) \mathcal{P}(\psi_i|0)$$

- **Propagation** of flux tube excitation



Integrability in Scattering Amplitudes/Wilson Loops?

Not yet understood in general kinematics. Good starting point, however, particular **collinear limit**. In new kinem. variables τ, σ, ϕ , given by $\tau \rightarrow \infty$.

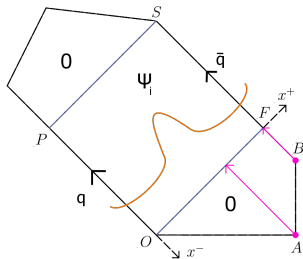
In convenient normalization, conformal symmetry implies

$$\mathcal{W}_6 = \sum_{\psi_i} e^{-E_i \tau + i p_i \sigma + a_i \phi} \mathcal{P}(0|\psi_i) \mathcal{P}(\psi_i|0)$$

- ▶ Propagation of flux tube excitation
- ▶ Emission/Absorption

Wilson Loop 'Operator Product Expansion (OPE)'

[Alday, Gaiotto, Maldacena, Sever, Vieira]



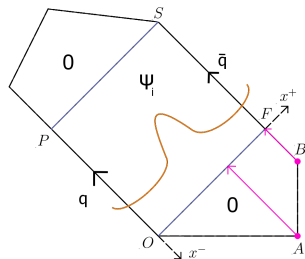
Integrability in Scattering Amplitudes/Wilson Loops?

Not yet understood in general kinematics. Good starting point, however, particular **collinear limit**. In new kinem. variables τ, σ, ϕ , given by $\tau \rightarrow \infty$.

In convenient normalization, conformal symmetry implies

$$\mathcal{W}_6 = \sum_{\psi_i} e^{-E_i \tau + i p_i \sigma + a_i \phi} \mathcal{P}(0|\psi_i) \mathcal{P}(\psi_i|0)$$

- ▶ **Propagation** of flux tube excitation
- ▶ **Emission/Absorption**



Wilson Loop ‘Operator Product Expansion (OPE)’

[Alday, Gaiotto, Maldacena, Sever, Vieira]

MSYM: ψ_i mapped to excitations of integrable $SL(2, \mathbb{R})$ spin chain, equivalently of Gubser-Polyakov-Klebanov string \Rightarrow exact E, \mathcal{P}

[Basso+Sever, Vieira]

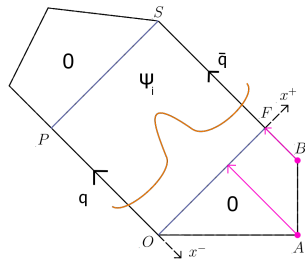
Integrability in Scattering Amplitudes/Wilson Loops?

Not yet understood in general kinematics. Good starting point, however, particular **collinear limit**. In new kinem. variables τ, σ, ϕ , given by $\tau \rightarrow \infty$.

In convenient normalization, conformal symmetry implies

$$\mathcal{W}_6 = \sum_{\psi_i} e^{-E_i \tau + i p_i \sigma + a_i \phi} \mathcal{P}(0|\psi_i) \mathcal{P}(\psi_i|0)$$

- ▶ **Propagation** of flux tube excitation
- ▶ **Emission/Absorption**



Wilson Loop ‘Operator Product Expansion (OPE)’

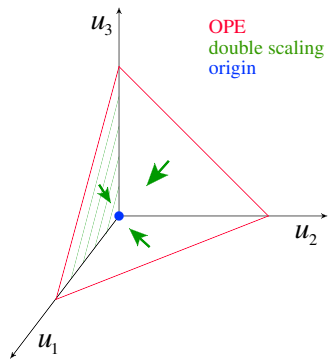
[Alday,Gaiotto,Maldacena,Sever,Vieira]

MSYM: ψ_i mapped to excitations of integrable $SL(2, \mathbb{R})$ spin chain, equivalently of Gubser-Polyakov-Klebanov string \Rightarrow exact E, \mathcal{P}

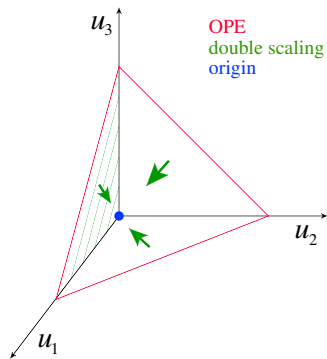
[Basso+Sever,Vieira]

[Belitsky,Bonini,Bork,Caetano,Cordova,Drummond,Fioravanti,Hippel,Lam,Onishchenko, GP,Piscaglia,Rossi...]

A Path to Originality

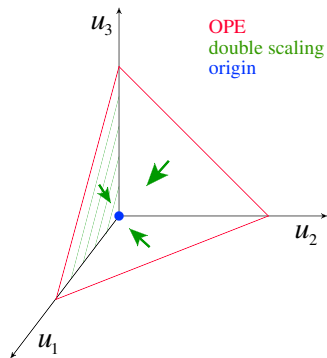


A Path to Originality



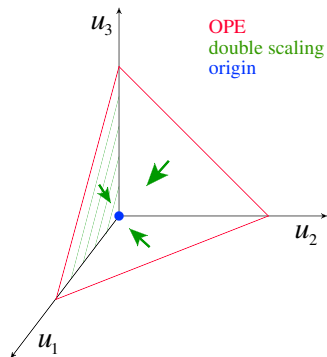
- ▶ Origin does not intersect **collinear limit**

A Path to Originality



- ▶ Origin does not intersect **collinear limit**
- ▶ However part of **double scaling limit**:

A Path to Originality

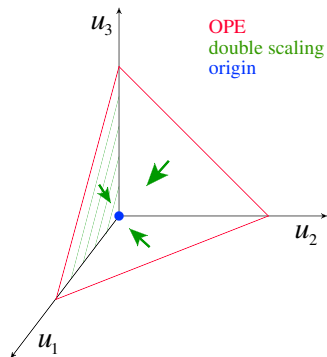


- ▶ **Origin** does not intersect **collinear limit**
- ▶ However part of **double scaling limit**:
Only simpler, gluon flux tube excitations contribute, [Basso,Sever,Vieira] [Drummond,GP]

$$\mathcal{W}_6^{\text{DS}} = \sum_{N=1}^{\infty} \mathcal{W}_{6[N]}, \text{ e.g.}$$

$$\mathcal{W}_{6[1]} = \sum_{a=1}^{\infty} e^{a\phi} \int \frac{du}{2\pi} \mu_a(u) e^{-E_a(u)\tau + p_a(u)\sigma}.$$

A Path to Originality



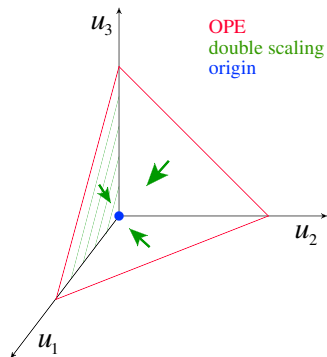
- ▶ **Origin** does not intersect **collinear limit**
- ▶ However part of **double scaling limit**:
Only simpler, gluon flux tube excitations contribute, [Basso,Sever,Vieira] [Drummond,GP]

$$\mathcal{W}_6^{\text{DS}} = \sum_{N=1}^{\infty} \mathcal{W}_{6[N]}, \text{ e.g.}$$

$$\mathcal{W}_{6[1]} = \sum_{a=1}^{\infty} e^{a\phi} \int \frac{du}{2\pi} \mu_a(u) e^{-E_a(u)\tau + p_a(u)\sigma}.$$

- ▶ Origin: $\phi - \tau \rightarrow \infty$, outside of radius of convergence of sum ☹

A Path to Originality



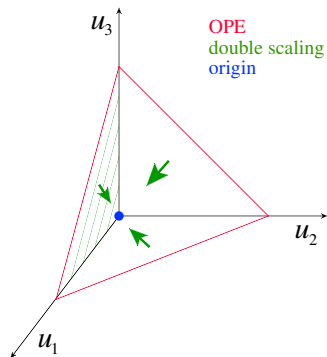
- ▶ **Origin** does not intersect **collinear limit**
- ▶ However part of **double scaling limit**:
Only simpler, gluon flux tube excitations contribute, [Basso,Sever,Vieira][Drummond,GP]

$$\mathcal{W}_6^{\text{DS}} = \sum_{N=1}^{\infty} \mathcal{W}_{6[N]}, \text{ e.g.}$$

$$\mathcal{W}_{6[1]} = \sum_{a=1}^{\infty} e^{a\phi} \int \frac{du}{2\pi} \mu_a(u) e^{-E_a(u)\tau + p_a(u)\sigma}.$$

- ▶ Origin: $\phi - \tau \rightarrow \infty$, outside of radius of convergence of sum ☹
- ▶ Pert. resummation: $\mathcal{W}_{6[N]} \sim \mathcal{O}(g^{2N^2}) \Rightarrow \mathcal{W}_{6[1]}$ good up to 3 loops ☺

A Path to Originality



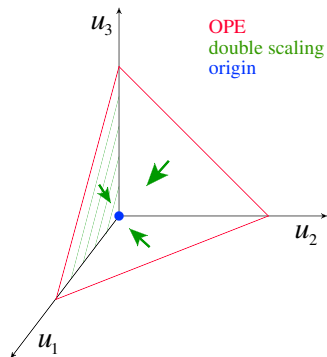
- ▶ Origin does not intersect **collinear limit**
- ▶ However part of **double scaling limit**:
Only simpler, gluon flux tube excitations contribute, [Basso,Sever,Vieira][Drummond,GP]

$$\mathcal{W}_6^{\text{DS}} = \sum_{N=1}^{\infty} \mathcal{W}_{6[N]}, \text{ e.g.}$$

$$\mathcal{W}_{6[1]} = \sum_{a=1}^{\infty} e^{a\phi} \int \frac{du}{2\pi} \mu_a(u) e^{-E_a(u)\tau + p_a(u)\sigma}.$$

- ▶ Origin: $\phi - \tau \rightarrow \infty$, outside of radius of convergence of sum ☹
- ▶ Pert. resummation: $\mathcal{W}_{6[N]} \sim \mathcal{O}(g^{2N^2}) \Rightarrow \mathcal{W}_{6[1]}$ good up to 3 loops ☺
- ▶ Pert. resummation for $N \geq 2$ possible, but much harder ☹

A Path to Originality



- ▶ Origin does not intersect **collinear limit**
- ▶ However part of **double scaling limit**:
Only simpler, gluon flux tube excitations contribute, [Basso,Sever,Vieira][Drummond,GP]

$$\mathcal{W}_6^{\text{DS}} = \sum_{N=1}^{\infty} \mathcal{W}_{6[N]}, \text{ e.g.}$$

$$\mathcal{W}_{6[1]} = \sum_{a=1}^{\infty} e^{a\phi} \int \frac{du}{2\pi} \mu_a(u) e^{-E_a(u)\tau + p_a(u)\sigma}.$$

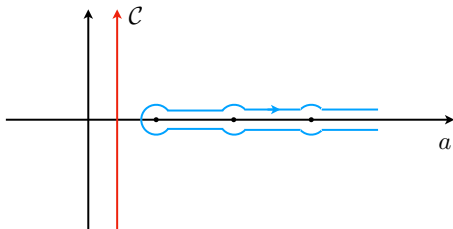
- ▶ Origin: $\phi - \tau \rightarrow \infty$, outside of radius of convergence of sum ☹
- ▶ Pert. resummation: $\mathcal{W}_{6[N]} \sim \mathcal{O}(g^{2N^2}) \Rightarrow \mathcal{W}_{6[1]}$ good up to 3 loops ☺
- ▶ Pert. resummation for $N \geq 2$ possible, but much harder ☹
- ▶ As we'll see however, not really necessary! ☺

Sommerfeld-Watson Transform

Similar to Regge theory, where it amounts to analytic continuation in spin,

$$\sum_{a \geq 1} (-1)^a f(a) \rightarrow \int_{+\infty - i\epsilon}^{+\infty + i\epsilon} \frac{if(a)da}{2 \sin(\pi a)},$$

provided $f(z)$ decays faster than $1/z$ as $z \rightarrow \infty$.

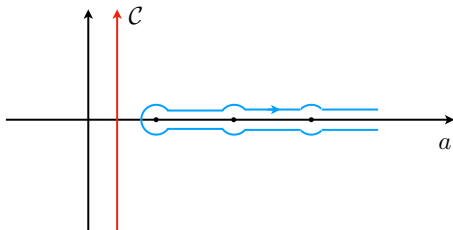


Sommerfeld-Watson Transform

Similar to Regge theory, where it amounts to analytic continuation in spin,

$$\sum_{a \geq 1} (-1)^a f(a) \rightarrow \int_{+\infty - i\epsilon}^{+\infty + i\epsilon} \frac{if(a)da}{2 \sin(\pi a)},$$

provided $f(z)$ decays faster than $1/z$ as $z \rightarrow \infty$. Indeed the case, and in fact can deform contour to run parallel to imaginary axis, \mathcal{C} .

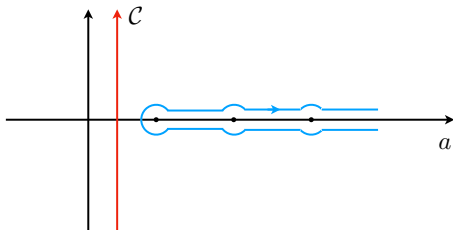


Sommerfeld-Watson Transform

Similar to Regge theory, where it amounts to analytic continuation in spin,

$$\sum_{a \geq 1} (-1)^a f(a) \rightarrow \int_{+\infty - i\epsilon}^{+\infty + i\epsilon} \frac{if(a)da}{2 \sin(\pi a)},$$

provided $f(z)$ decays faster than $1/z$ as $z \rightarrow \infty$. Indeed the case, and in fact can deform contour to run parallel to imaginary axis, \mathcal{C} .



Finally, closing contour around $a = 0$ on the left-hand side yields all nonvanishing terms at origin at finite coupling!

They consist of

- ▶ A set of *cluster variables* a_i

They consist of

- ▶ A set of *cluster variables* a_i
- ▶ Grouped into overlapping subsets $\{a_1, \dots, a_d\}$ of *rank* d , the *clusters*

They consist of

- ▶ A set of *cluster variables* a_i
- ▶ Grouped into overlapping subsets $\{a_1, \dots, a_d\}$ of *rank* d , the *clusters*
- ▶ Constructed recursively from initial cluster via *mutations*

They consist of

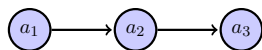
- ▶ A set of *cluster variables* a_i
- ▶ Grouped into overlapping subsets $\{a_1, \dots, a_d\}$ of *rank* d , the *clusters*
- ▶ Constructed recursively from initial cluster via *mutations*

Can be described by quivers.

They consist of

- ▶ A set of *cluster variables* a_i
- ▶ Grouped into overlapping subsets $\{a_1, \dots, a_d\}$ of *rank* d , the *clusters*
- ▶ Constructed recursively from initial cluster via *mutations*

Can be described by quivers. Example: A_3 Cluster algebra

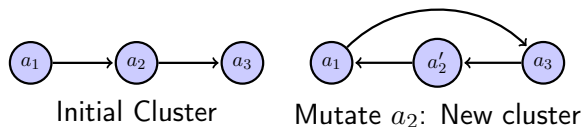


Initial Cluster

They consist of

- ▶ A set of *cluster variables* a_i
- ▶ Grouped into overlapping subsets $\{a_1, \dots, a_d\}$ of rank d , the *clusters*
- ▶ Constructed recursively from initial cluster via *mutations*

Can be described by quivers. Example: A_3 Cluster algebra



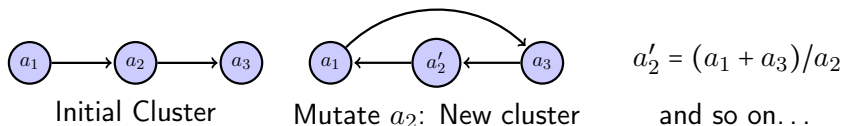
General rule for mutation at node k :

1. $\forall i \rightarrow k \rightarrow j$, add $i \rightarrow j$, reverse $i \leftarrow k \leftarrow j$, remove \rightleftarrows .

They consist of

- ▶ A set of *cluster variables* a_i
- ▶ Grouped into overlapping subsets $\{a_1, \dots, a_d\}$ of *rank* d , the *clusters*
- ▶ Constructed recursively from initial cluster via *mutations*

Can be described by quivers. Example: A_3 Cluster algebra



General rule for mutation at node k :

1. $\forall i \rightarrow k \rightarrow j$, add $i \rightarrow j$, reverse $i \leftarrow k \leftarrow j$, remove \rightleftarrows .
2. In new quiver/cluster, $a_k \rightarrow a'_k = \left(\prod_{\text{arrows } i \rightarrow k} a_i + \prod_{\text{arrows } k \rightarrow j} a_j \right) / a_k$

Geometric Interpretation of Cluster Algebras

Finite cluster algebras classified by Dynkin diagrams. For A_n :

- ▶ Cluster = triangulation of $(n + 3)$ -gon by noncrossing diagonals
- ▶ Cluster coordinates = diagonals of this triangulation

Example: $A_3 =$ hexagon

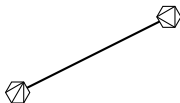


Geometric Interpretation of Cluster Algebras

Finite cluster algebras classified by Dynkin diagrams. For A_n :

- ▶ Cluster = triangulation of $(n + 3)$ -gon by noncrossing diagonals
- ▶ Cluster coordinates = diagonals of this triangulation
- ▶ Mutation = Flipping of diagonal of any rectangle subdiagram

Example: $A_3 =$ hexagon

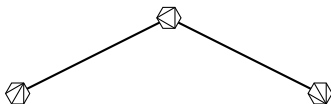


Geometric Interpretation of Cluster Algebras

Finite cluster algebras classified by Dynkin diagrams. For A_n :

- ▶ Cluster = triangulation of $(n + 3)$ -gon by noncrossing diagonals
- ▶ Cluster coordinates = diagonals of this triangulation
- ▶ Mutation = Flipping of diagonal of any rectangle subdiagram

Example: $A_3 =$ hexagon

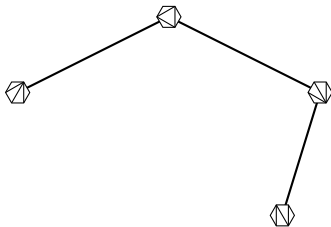


Geometric Interpretation of Cluster Algebras

Finite cluster algebras classified by Dynkin diagrams. For A_n :

- ▶ Cluster = triangulation of $(n + 3)$ -gon by noncrossing diagonals
- ▶ Cluster coordinates = diagonals of this triangulation
- ▶ Mutation = Flipping of diagonal of any rectangle subdiagram

Example: $A_3 =$ hexagon

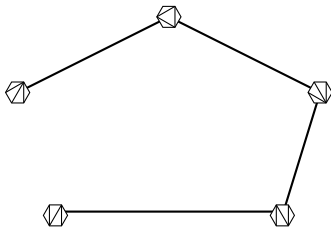


Geometric Interpretation of Cluster Algebras

Finite cluster algebras classified by Dynkin diagrams. For A_n :

- ▶ Cluster = triangulation of $(n + 3)$ -gon by noncrossing diagonals
- ▶ Cluster coordinates = diagonals of this triangulation
- ▶ Mutation = Flipping of diagonal of any rectangle subdiagram

Example: $A_3 =$ hexagon

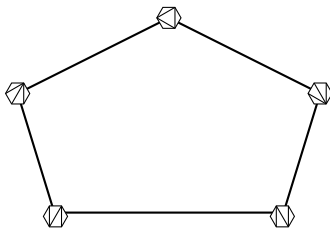


Geometric Interpretation of Cluster Algebras

Finite cluster algebras classified by Dynkin diagrams. For A_n :

- ▶ Cluster = triangulation of $(n + 3)$ -gon by noncrossing diagonals
- ▶ Cluster coordinates = diagonals of this triangulation
- ▶ Mutation = Flipping of diagonal of any rectangle subdiagram

Example: $A_3 =$ hexagon

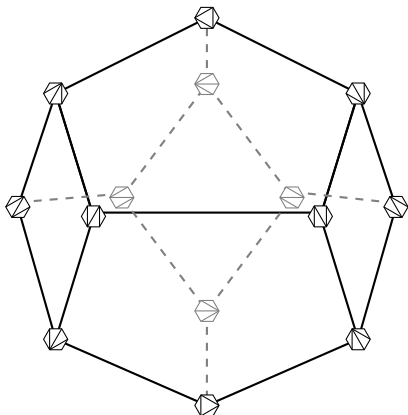


Geometric Interpretation of Cluster Algebras

Finite cluster algebras classified by Dynkin diagrams. For A_n :

- ▶ Cluster = triangulation of $(n + 3)$ -gon by noncrossing diagonals
- ▶ Cluster coordinates = diagonals of this triangulation
- ▶ Mutation = Flipping of diagonal of any rectangle subdiagram

Example: $A_3 =$ hexagon
exchange graph



Adapted from 1810.08149

Maximally Supersymmetric Yang-Mills Theory

Field Content & Planar Amplitudes

All fields massless and in adjoint of gauge group $SU(N)$.

Maximally Supersymmetric Yang-Mills Theory

Field Content & Planar Amplitudes

All fields massless and in adjoint of gauge group $SU(N)$.

Can thus use helicity $h = \vec{S} \cdot \hat{p}$ to classify on-shell particle content,

$$\begin{array}{cccccc} h : & -1 & & -1/2 & & 0 & & 1/2 & & 1 \\ & & & & & G^- & \xrightarrow{Q^1} & \bar{\Gamma}^A & \xrightarrow{Q^2} & \Phi_{AB} & \xrightarrow{Q^3} & \Gamma_A & \xrightarrow{Q^4} & G^+ \end{array}$$

For the gluons G^\pm , the gluinos $\Gamma, \bar{\Gamma}$, and the scalars Φ . For n gluons,

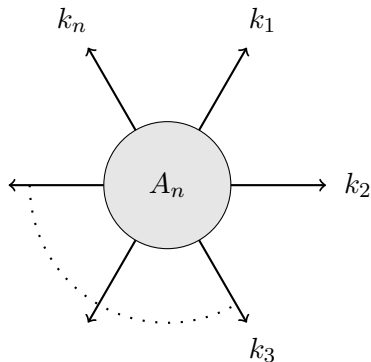
$$\begin{aligned} & \mathcal{A}_n^{L\text{-loop}}(\{k_i, h_i, a_i\}) \\ &= \sum_{\sigma \in S_n/Z_n} \text{Tr}(T^{a_{\sigma(1)}} \dots T^{a_{\sigma(n)}}) A_n^{(L)}(\sigma(1^{h_1}), \dots, \sigma(n^{h_n})) \\ & \quad + \text{multitrace terms, subleading by powers of } 1/N^2. \end{aligned}$$

$A_n^{(L)}$: color-stripped amplitude, all color factors removed.

Maximally Helicity Violating (MHV) Amplitudes

These are the simplest amplitudes: $A_n(1^+, \dots, i^-, \dots, j^-, \dots, n^+)$

They have remarkable properties, namely they



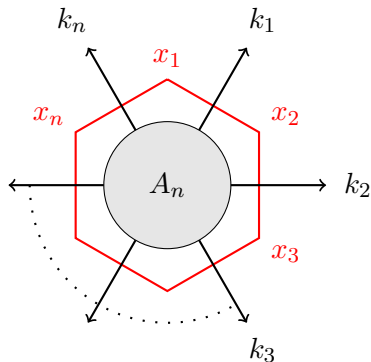
Maximally Helicity Violating (MHV) Amplitudes

These are the simplest amplitudes: $A_n(1^+, \dots, i^-, \dots, j^-, \dots, n^+)$

They have remarkable properties, namely they

- ▶ are dual to null polygonal Wilson loops $W_n = \langle \text{Tr} \mathcal{P} \exp \int_{\square} A_\mu dx^\mu \rangle / N$.

[Alday, Maldacena][Drummond, Korchemsky, Sokatchev][Brandhuber, Heslop, Travaglini]



$$k_i \equiv x_{i+1} - x_i \equiv x_{i+1,i},$$

$$k_i^2 = x_{i+1,i}^2 = 0$$

$$\log W_n = \log \frac{A_n^{\text{MHV}}}{A_{n,\text{tree}}^{\text{MHV}}} + \mathcal{O}(\epsilon)$$

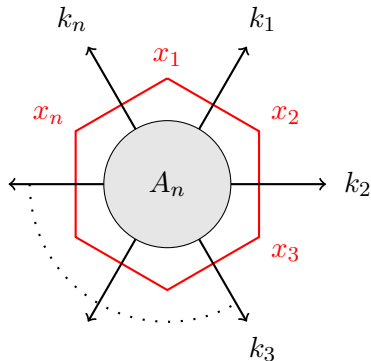
Maximally Helicity Violating (MHV) Amplitudes

These are the simplest amplitudes: $A_n(1^+, \dots, i^-, \dots, j^-, \dots, n^+)$

They have remarkable properties, namely they

- ▶ are dual to null polygonal Wilson loops $W_n = \langle \text{Tr} \mathcal{P} \exp \int_{\square} A_\mu dx^\mu \rangle / N$.

[Alday, Maldacena][Drummond, Korchemsky, Sokatchev][Brandhuber, Heslop, Travaglini]



$$k_i \equiv x_{i+1} - x_i \equiv x_{i+1,i},$$

$$k_i^2 = x_{i+1,i}^2 = 0$$

$$\log W_n = \log \frac{A_n^{\text{MHV}}}{A_{n,\text{tree}}^{\text{MHV}}} + \mathcal{O}(\epsilon)$$

- ▶ exhibit (formally) dual conformal invariance (DCI) under $x_i^\mu \rightarrow \frac{x_i^\mu}{x_i^2}$

Dual Conformal Invariance

- ▶ In reality DCI broken by divergences, (IR in massless $\mathcal{N} = 4$ /UV in cusped WL). Breaking controlled by conformal Ward identity.

[Drummond,Henn,Korchemsky,Sokatchev]

Dual Conformal Invariance

- ▶ In reality DCI broken by divergences, (IR in massless $\mathcal{N} = 4$ /UV in cusped WL). Breaking controlled by conformal Ward identity.
[Drummond,Henn,Korchemsky,Sokatchev]
- ▶ For $n = 4, 5$, latter uniquely determines dimensionally regularized A_n/W_n . Given by Bern-Dixon-Smirnov-like ansatz $A_n^{\text{BDS-like}}$, essentially exponentiated 1-loop amplitude.

Dual Conformal Invariance

- ▶ In reality DCI broken by divergences, (IR in massless $\mathcal{N} = 4$ /UV in cusped WL). Breaking controlled by conformal Ward identity.
[Drummond,Henn,Korchemsky,Sokatchev]
- ▶ For $n = 4, 5$, latter uniquely determines dimensionally regularized A_n/W_n . Given by Bern-Dixon-Smirnov-like ansatz $A_n^{\text{BDS-like}}$, essentially exponentiated 1-loop amplitude.
- ▶ For $n \geq 6$,

$$A_n = A_n^{\text{BDS-like}} \mathcal{E}_n(u_1, \dots, u_m)$$

where \mathcal{E}_n is a conformally invariant function of cross ratios u_i .

Dual Conformal Invariance

- ▶ In reality DCI broken by divergences, (IR in massless $\mathcal{N} = 4$ /UV in cusped WL). Breaking controlled by conformal Ward identity.

[Drummond,Henn,Korchinsky,Sokatchev]

- ▶ For $n = 4, 5$, latter uniquely determines dimensionally regularized A_n/W_n . Given by Bern-Dixon-Smirnov-like ansatz $A_n^{\text{BDS-like}}$, essentially exponentiated 1-loop amplitude.
- ▶ For $n \geq 6$,

$$A_n = A_n^{\text{BDS-like}} \mathcal{E}_n(u_1, \dots, u_m)$$

where \mathcal{E}_n is a conformally invariant function of cross ratios u_i .

- ▶ e.g. $n = 6$,

$$u_1 = \frac{x_{13}^2 x_{46}^2}{x_{14}^2 x_{36}^2}, \quad u_2 = \frac{x_{24}^2 x_{51}^2}{x_{25}^2 x_{41}^2}, \quad u_3 = \frac{x_{35}^2 x_{62}^2}{x_{36}^2 x_{52}^2},$$

Special Conformal Ward Identity

[Drummond,Henn,Korchemsky,Sokatchev]

$$\begin{aligned}\mathbb{K}^\nu \ln W_n &= \sum_{i=1}^n (2x_i^\nu x_i \cdot \partial_i - x_i^2 \partial_i^\nu) \ln W_n \\ &= - \sum_{l \geq 1} g^{2l} \left(\frac{\Gamma_{\text{cusp}}^{(l)}}{l\epsilon} + \Gamma^{(l)} \right) \sum_{i=1}^n (-x_{i-1,i+1}^2 \mu^2)^{l\epsilon} x_i^\nu + O(\epsilon),\end{aligned}$$

Γ : collinear anomalous dimension

Six-particle BDS(-like) Ansatz

[Bern,Dixon,Smirnov; Alday,Maldacena]

$$A_6^{\text{BDS-like}} = \exp \left[\sum_{L=1}^{\infty} (g^2)^L \left(f^{(L)}(\epsilon) \hat{M}_6(L\epsilon) + C^{(L)} \right) \right],$$

where

$$f(\epsilon) = \sum_{L=1}^{\infty} (g^2)^L f^{(L)}(\epsilon) = \frac{1}{4} \Gamma_{\text{cusp}} + \mathcal{O}(\epsilon).$$

and

$$\begin{aligned} \hat{M}_6(\epsilon) = & (4\pi e^{-\gamma_E})^\epsilon \sum_{i=1}^6 \left[-\frac{1}{\epsilon^2} \left(1 + \epsilon \ln \left(\frac{\mu^2}{-s_{i,i+1}} \right) + \frac{\epsilon^2}{2} \ln^2 \left(\frac{\mu^2}{-s_{i,i+1}} \right) \right) \right. \\ & \left. + \frac{1}{2} \ln^2 \left(\frac{s_{i,i+1}}{s_{i+1,i+2}} \right) - \frac{1}{4} \ln^2 \left(\frac{s_{i,i+1}}{s_{i+3,i+4}} \right) + \frac{3}{2} \zeta_2 \right] + \mathcal{O}(\epsilon), \end{aligned}$$

Relation to original, BDS ansatz:

$$A_6^{\text{BDS}} = A_6^{\text{BDS-like}} e^{\frac{\Gamma_{\text{cusp}}}{4} \mathcal{E}_6^{(1)}}, \quad \mathcal{E}_6^{(1)} = \sum_{i=1}^3 \text{Li}_2 \left(1 - \frac{1}{u_i} \right)$$

Multiple Polylogarithms (MPLs) and Symbols

f_k is a MPL of weight k if its differential obeys

$$df_k = \sum_{\alpha} f_{k-1}^{(\alpha)} d \log \phi_{\alpha}$$

over some set of *letters* ϕ_{α} , with $f_{k-1}^{(\alpha)}$ functions of weight $k - 1$.

Multiple Polylogarithms (MPLs) and Symbols

f_k is a MPL of weight k if its differential obeys

$$df_k = \sum_{\alpha} f_{k-1}^{(\alpha)} d \log \phi_{\alpha}$$

over some set of *letters* ϕ_{α} , with $f_{k-1}^{(\alpha)}$ functions of weight $k-1$.

Convenient tool for describing them: **Symbol** $\mathcal{S}(f_k)$ encapsulating recursive application of above definition (on $f_{k-1}^{(\alpha)}$ etc)

$$\mathcal{S}(f_k) = \sum_{\alpha_k} \mathcal{S}(f_{k-1}^{(\alpha_k)}) \otimes \phi_{\alpha_k}$$

Example: $d\text{Li}_n(x) = \text{Li}_{n-1}(x)d \log x$, $\text{Li}_1(x) = -\log(1-x)$

$$\mathcal{S}(\text{Li}_n(x)) = -(1-x) \otimes \underbrace{x \otimes \dots \otimes x}_{n-1 \text{ times}}$$

Multiple Polylogarithms (MPLs) and Symbols

f_k is a MPL of weight k if its differential obeys

$$df_k = \sum_{\alpha} f_{k-1}^{(\alpha)} d \log \phi_{\alpha}$$

over some set of *letters* ϕ_{α} , with $f_{k-1}^{(\alpha)}$ functions of weight $k-1$.

Convenient tool for describing them: **Symbol** $\mathcal{S}(f_k)$ encapsulating recursive application of above definition (on $f_{k-1}^{(\alpha)}$ etc)

$$\mathcal{S}(f_k) = \sum_{\alpha_1, \dots, \alpha_k} f_0^{(\alpha_1, \alpha_2, \dots, \alpha_k)} (\phi_{\alpha_1} \otimes \dots \otimes \phi_{\alpha_k}).$$

Example: $d\text{Li}_n(x) = \text{Li}_{n-1}(x)d \log x$, $\text{Li}_1(x) = -\log(1-x)$

$$\mathcal{S}(\text{Li}_n(x)) = -(1-x) \otimes \underbrace{x \otimes \dots \otimes x}_{n-1 \text{ times}}$$

Cluster Adjacency ~ Extended Steinmann Relations

So far seen only cluster coordinates=alphabet relevant for scattering amplitudes. How about clusters, do they also play a role?

Cluster Adjacency ~ Extended Steinmann Relations

So far seen only cluster coordinates=alphabet relevant for scattering amplitudes. How about clusters, do they also play a role? YES:

[Drummond,Foster,Gurdogan]

Two distinct \mathcal{A} -coordinates can appear consecutively in a symbol only if there exists a cluster where they both appear.

Cluster Adjacency ~ Extended Steinmann Relations

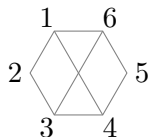
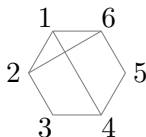
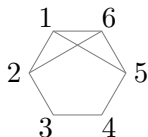
So far seen only cluster coordinates=alphabet relevant for scattering amplitudes. How about clusters, do they also play a role? YES:

[Drummond,Foster,Gurdogan]

Two distinct \mathcal{A} -coordinates can appear consecutively in a symbol only if there exists a cluster where they both appear.

E.g. A_3 : Crossing diagonals forbidden,

~~... \otimes (15) \otimes (26) \otimes ..., ... \otimes (14) \otimes (26) \otimes ..., ... \otimes (14) \otimes (36) \otimes ...~~



Cluster Adjacency ~ Extended Steinmann Relations

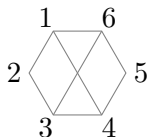
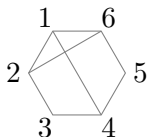
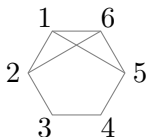
So far seen only cluster coordinates=alphabet relevant for scattering amplitudes. How about clusters, do they also play a role? YES:

[Drummond,Foster,Gurdogan]

Two distinct \mathcal{A} -coordinates can appear consecutively in a symbol only if there exists a cluster where they both appear.

E.g. A_3 : Crossing diagonals forbidden,

~~... $\otimes (15) \otimes (26) \otimes \dots$, ... $\otimes (14) \otimes (26) \otimes \dots$, ... $\otimes (14) \otimes (36) \otimes \dots$~~



For physical $n = 6, 7$ functions, equivalent to *extended Steinmann relations*.
Massively reduces size of function space. [Caron-Huot,Dixon,DulatMcLeod,Hippel,GP]